

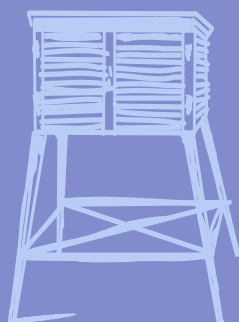
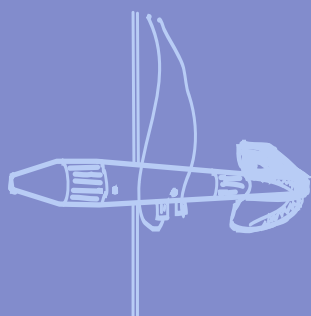
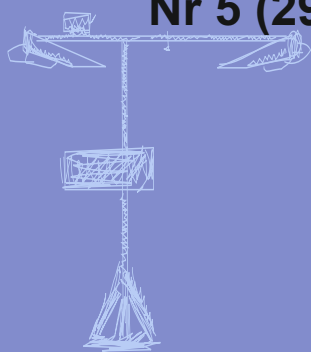
Nr 5 (298)

ISSN 1730-6124

# BIULETYN

PAŃSTWOWEJ SŁUŻBY  
HYDROLOGICZNO-  
METEOROLOGICZNEJ

MAJ 2026



INSTYTUT METEOROLOGII I GOSPODARKI WODNEJ  
PAŃSTWOWY INSTYTUT BADAWCZY



Redakcja biuletynu:

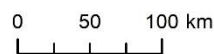
Agnieszka Pietrzykowska  
Sławomir Wereski – redaktor naczelny

Pomiary i obserwacje, których wyniki zamieszczono w Biuletynie wykonywane są przez Państwową Służbę Hydrologiczno-Meteorologiczną IMGW-PIB.

Dane w Biuletynie (meteorologiczne i hydrologiczne) pochodzą z operacyjnej bazy danych i ich wartości mogą ulec zmianie po weryfikacji.



- Warszawa** Siedziba IMGW-PIB
- Gdynia** Siedziba biura terenowego
- CBPM** Centralne Biuro Prognoz Meteorologicznych
- BPM** Biuro Prognoz Meteorologicznych
- BMPM** Biuro Meteorologicznych Prognoz Morskich
- CBHO** Centralne Biuro Hydrologii Operacyjnej
- BPH** Biuro Prognoz Hydrologicznych
- CMPIS** Centrum Modelowania Powodziowego i Suszy
- CBPL-MBN** Centralne Biuro Prognoz Lotniczych - Meteorologiczne Biuro Nadzoru
- Stacja Hydrologiczno-Meteorologiczna
- ⊕ Stacja Meteorologiczna z Lotniskową Stacją Meteorologiczną
- Stacja Meteorologiczna
- ▲ Wysokogórskie Obserwatorium Meteorologiczne
- ◆ Stacja Badań Niwalnych
- Automatyczna Stacja Synoptyczna
- ⊙ Stacja Badawcza Parowania
- Stacja Pomiarów Aerologicznych



#### SPIS TREŚCI

1.	Ogólna ocena sytuacji hydrologiczno-meteorologicznej w maju 2026 .....	4
2.	Warunki meteorologiczne .....	5
3.	Warunki hydrologiczne .....	18
4.	Odptyw rzeczny .....	24
5.	Jeziora .....	26
6.	Parowanie z powierzchni wody .....	32

#### TABELE

2.1.	Charakterystyki meteorologiczne w maju 2026 .....	15
3.1.	Najwyższe dobowe sumy opadu w województwach (20 mm i wyższe) .....	18
3.2.	Najwyższe dobowe przyrosty stanu wody (40 cm i wyższe, o 6 UTC) .....	19
3.3.	Stacje wodowskazowe, na których stan wody w maju 2026 był niższy od dotychczas obserwowanych wartości (do roku 2025) .....	20
4.1.	Odptyw w maju 2026 w stosunku do wartości charakterystycznych z wielolecia 1951-2020, w wybranych profilach wodowskazowych .....	25
5.1.	Morfometria i zlewnie jezior .....	27
5.2.	Stan i temperatura wody jezior w maju 2026 .....	30
5.3.	Przezroczystość wody [m] .....	30
6.1.	Sumy dekadowe i miesięczne parowania z powierzchni wody - basen 20 m <sup>2</sup> maj 2026 .....	32
6.2.	Przybliżone wartości współczynnika [R] dla zbiorników o różnej głębokości i powierzchni do 5 km <sup>2</sup> .....	33
6.3.	Sumy dekadowe i miesięczne parowania z powierzchni wody-ewaporometr GGI-3000 - maj 2026 .....	33
6.4.	Sumy dekadowe i miesięczne parowania (rzeczywistego) z powierzchni jezior - maj 2026 .....	34

#### RYSUNKI

2.1.	Mapa synoptyczna (3 V 2026, godz. 12 UTC) .....	5
2.2.	Mapa synoptyczna (6 V 2026, godz. 12 UTC) .....	6
2.3.	Mapa synoptyczna (10 V 2026, godz. 12 UTC) .....	7
2.4.	Mapa synoptyczna (15 V 2026, godz. 12 UTC) .....	8
2.5.	Mapa synoptyczna (27 V 2026, godz. 12 UTC) .....	9
2.6.	Mapa synoptyczna (30 V 2026, godz. 12 UTC) .....	10
2.7.	Średnia miesięczna temperatura powietrza w maju 2026 .....	13
2.8.	Odchylenie średniej miesięcznej temperatury powietrza w maju 2026, w stosunku do średniej 1991-2020 .....	13
2.9.	Miesięczna suma opadu atmosferycznego w maju 2026 .....	14
2.10.	Anomalia miesięcznej sumy opadu atmosferycznego w maju 2026, jako procent normy wieloletniej 1991-2020 .....	14
2.11.	Średnie dobowe i ekstremalne temperatury powietrza oraz dobowe sumy opadu atmosferycznego w maju 2026 .....	16
3.1.	Wysokość opadów średnich [mm] i przebieg stanu wody [cm] dla wybranych zlewni w Polsce w maju 2026 .....	21
3.2.	Hydrogramy stanu wody na Wiśle, Narwi i Bugu w maju 2026 .....	22
3.3.	Hydrogramy stanu wody na Odrze, Nysie Kłodzkiej i Warcie w maju 2026 .....	23
4.1.	Krzywe sumowe odptywu Wisły w Tczewie i Odry w Gozdowicach .....	24
5.1.	Lokalizacja jezior bazowych i bilansowych sieci limnologicznej .....	27
5.2.	Natlenienie i temperatura wody jezior bilansowych .....	31
6.1.	Lokalizacja stacji ewaporometrycznych .....	32

## 1. Ogólna ocena sytuacji hydrologiczno-meteorologicznej w maju 2026\*

Średnia obszarowa temperatura powietrza w Polsce w maju 2026 roku wynosiła 14,0°C i była wyższa od wieloletniej normy dla tego miesiąca (odchylenie od średniej z lat 1991-2020 wynosiło 0,7°C). Według kwantylowej klasyfikacji warunków termicznych miesiąc ten należy uznać za „ciepły” biorąc pod uwagę średnią dla Polski. Pod względem termicznym tegoroczny maj na przeważającym obszarze Polski był nieco powyżej normy. Najwyższe odchylenie od normy zanotowano w Zielonej Górze, gdzie temperatura była wyższa od normy o 1,4°C, najniższe odchylenie: 0,1°C, wystąpiło na stacjach w Resku i w Suwałkach. Najwyższą średnią miesięczną temperaturę: 15,6°C, zanotowano w Warszawie, najniższą zaś w Łebie: 11,7°C, a w górach na Kasprowym Wierchu: 3,4°C.

Pod względem opadów tegoroczny maj na znacznym obszarze kraju był miesiącem poniżej normy. Jedynie miejscami na południu klasyfikował się jako w normie: 90-110% normy, a w rejonie konurbacji śląskiej jako wilgotny: do 113% normy. Na obszarach, gdzie opady były poniżej normy, maj zapisał się jako suchy: 75-89% normy, albo bardzo suchy: 50-74% normy. Miejscami na Mazowszu, Lubelszczyźnie, Podlasiu, Ziemi Łódzkiej, Podkarpaciu i Kujawach był nawet skrajnie suchy: poniżej 50% normy. Najniższa miesięczna suma opadów wystąpiła w Mławie: 16,1 mm, tam też zanotowano najwyższy deficyt opadów: 28,4% normy wieloletniej. Najwyższa suma opadów wystąpiła w Bielsku-Białej: 88,4 mm, w górach na Hali Gąsienicowej: 195,1 mm, natomiast najwyższe odchylenie od normy zanotowano w Katowicach: 113% normy.

Na rzekach w maju notowano głównie stabilizację i niewielkie spadki, lokalne i okresowe wahania związane były ze spływem wód opadowych i z pracą urządzeń hydrotechnicznych. Widoczny był także wpływ północnej cyrkulacji na poziom wody w Bałtyku. Nie notowano przekroczeń stanu alarmowego. W maju wartości stanu wody niższe lub równe najniższej dotychczas obserwowanej wartości, do roku 2025, odnotowano na 9 stacjach wodowskazowych, na 6 w Dorzeczu Wisły i na 3 w Dorzeczu Odry. Ostatniego dnia maja (31 V) stan wody na Wiśle znajdował się głównie w strefie wody niskiej, tylko w górnym biegu i w ujściowym odcinku lokalnie w strefie wody średniej. Na Narwi występowała strefa wody niskiej. Na Bugu tego dnia stan wody układał się w strefie niskiej. Poziom wody na Odrze układał się głównie w strefie wody niskiej, tylko w górnym i ujściowym biegu miejscami w strefie wody średniej. Stan wody na Warcie układał się w strefie wody niskiej.

W maju wartości odpływu w przekrojach rzek dorzecza Wisły i Odry były zróżnicowane, ale przeważnie znacznie niższe od normy.

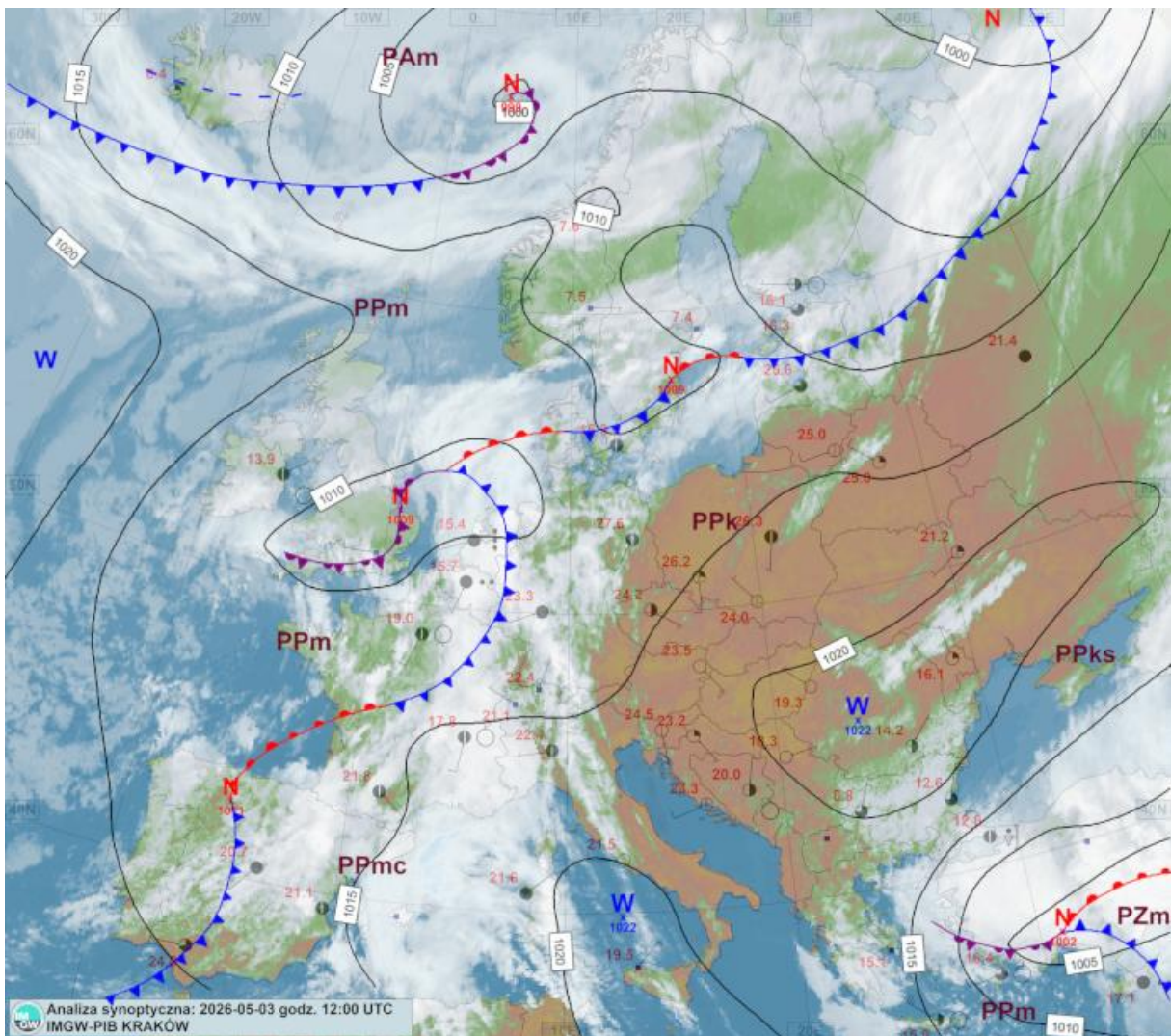
W maju, w porównaniu do kwietnia, średni poziom wody dla wszystkich akwenów był niższy o przeszło 3 cm. Stany wody w strefie stanów wysokich miało 6 akwenów, wodę niską 4 jeziora, a średnią - jedno. Średnia miesięczna temperatura wody znacznie wzrosła we wszystkich jeziorach: wyniosła ona w maju 14,2°C i była wyższa o 6,3°C od ubiegłego miesiąca.

W maju sumy miesięczne parowania z basenów 20 m<sup>2</sup> na większości stacjach ewaporometrycznych były powyżej średniej z wielolecia i wynosiły od 70 mm w Borucinie do 105 mm we Włodawie.

\* Podane wartości pochodzą ze stacji synoptycznych. Wszystkie odniesienia dotyczą normy wieloletniej z lat 1991-2020.

## 2. Warunki meteorologiczne

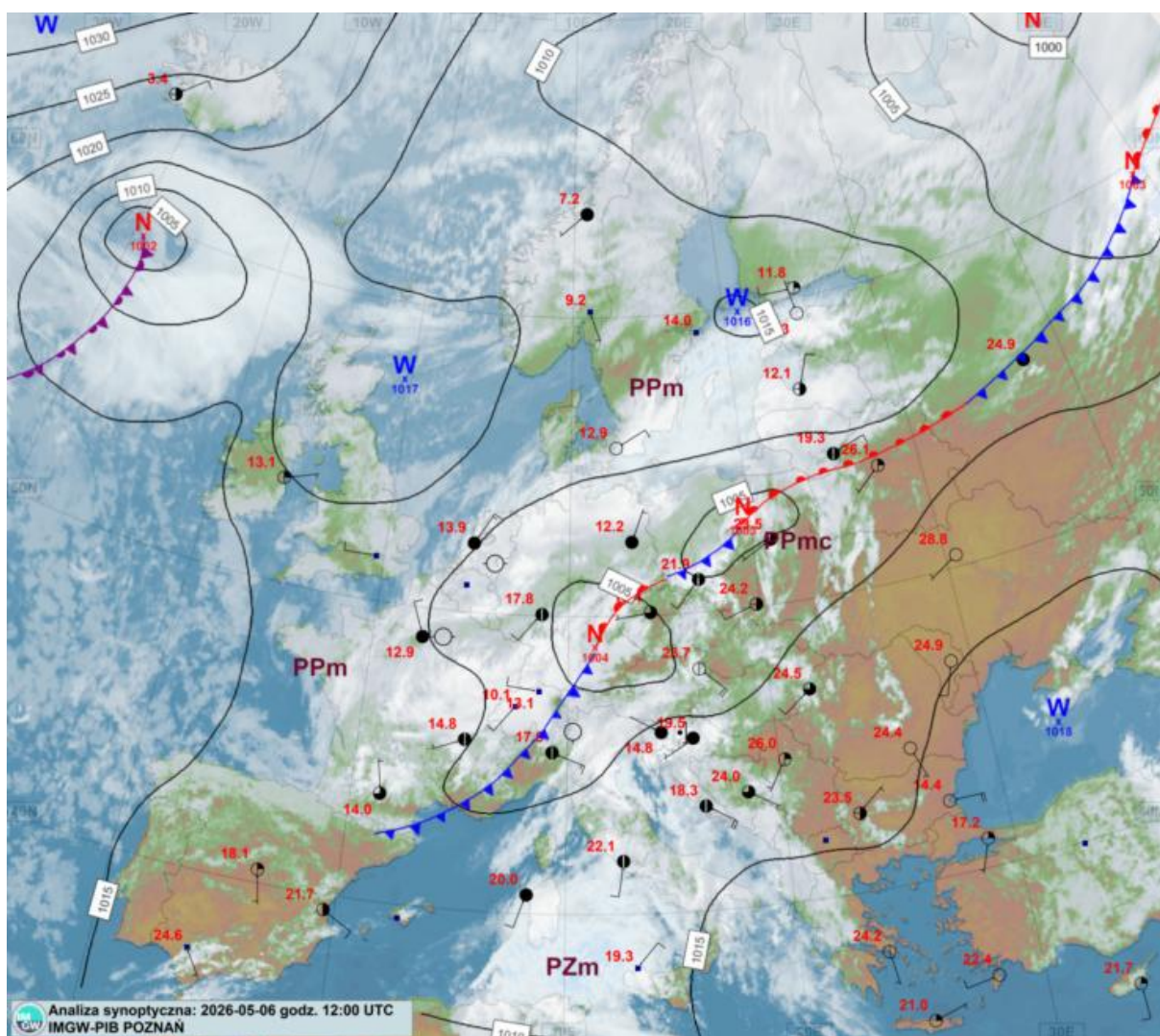
W okresie od 1 do 4 V Nad Polską dominował wyż, którego centrum znajdowało się nad Europą Środkową wędrowało w kierunku południowo-wschodnim. Napływało powietrze ciepłe, jednak dość suche, przeważnie polarne kontynentalne, co przekładało się na wysoką temperaturę w dzień, ale dość niską w nocy, początkowo z przymrozkami. Dopiero pod koniec okresu na północy i zachodzie kraju zachmurzenie okresami wzrastało do umiarkowanego i dużego, miejscami występowały słabe przelotne opady deszczu oraz lokalne burze. Nad ranem i w nocy lokalnie tworzyły się mgły. Najcieplej było na zachodzie i w centrum kraju, gdzie temperatura maksymalna miejscami osiągała 28-29°C. Najsilniejsze porywy odnotowano 3 V na Śnieżce do 18 m/s.



Rys. 2.1. Mapa synoptyczna (3 V 2026, godz. 12 UTC)

W okresie od 5 do 8 V przez Polskę przemieszczała się zatoka niżowa związana z głównym niżem nad północnej części Europy oraz niżami wtórnymi, formującymi się nad Europą Środkową. Z wędrującą w ten sposób zatoką związana była strefa pofalowanego frontu. Za frontem napływało chłodniejsze powietrze polarne morskie, przed cieplejsza masa

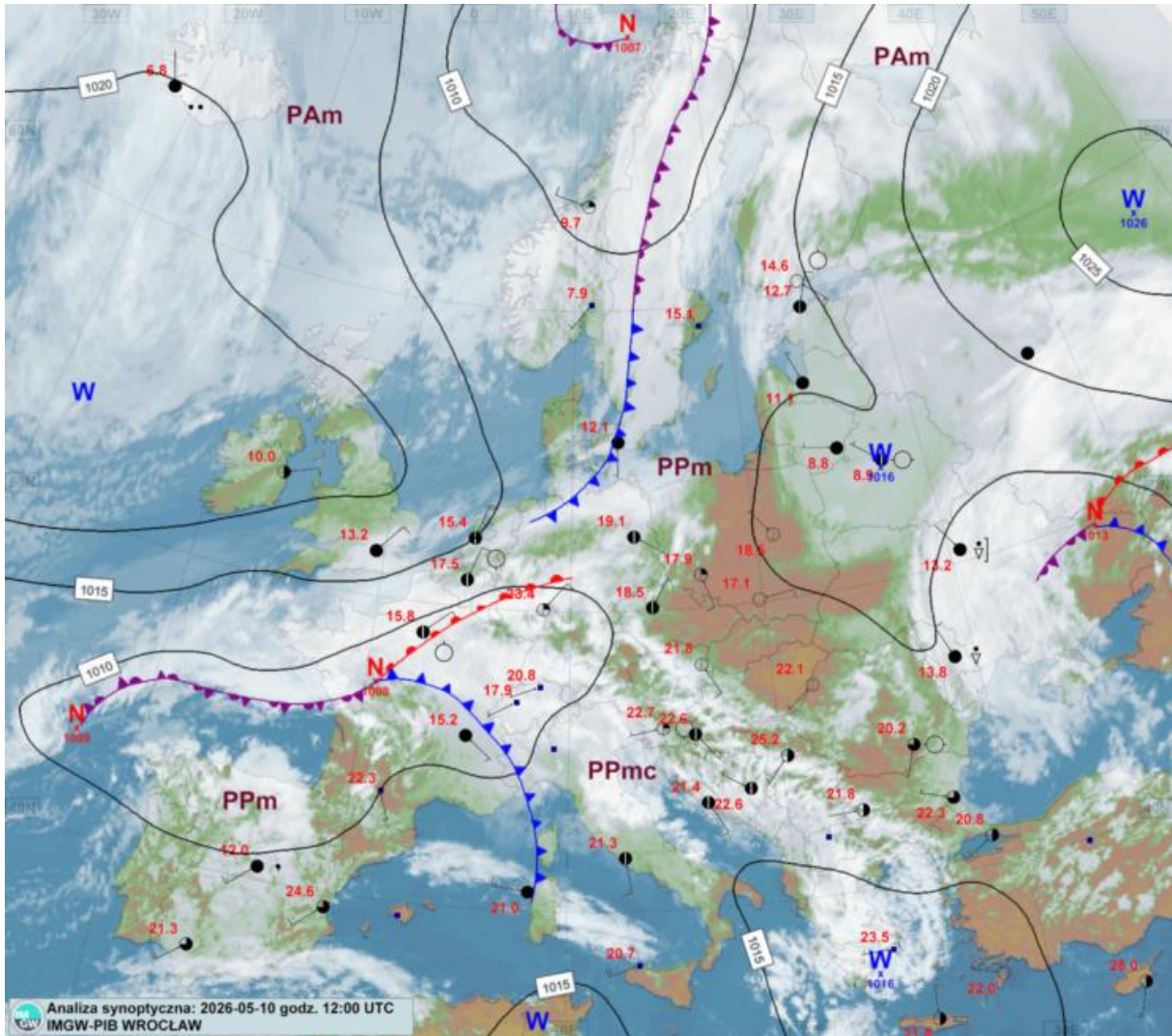
powietrza. W analizowanym okresie dominowało zachmurzenie duże i całkowite, jedynie miejscami występowały większe przejaśnienia i roz pogodzenia. W wielu regionach notowano opady deszczu, okresami o umiarkowanym i silnym natężeniu, a lokalnie także burze, szczególnie na południu i wschodzie kraju. Najcieplej było na wschodzie i południowym wschodzie, gdzie najdłużej napływało ciepłe powietrze przed frontem atmosferycznym i gdzie temperatura maksymalna osiągała 25-28°C, podczas gdy na północy miejscami nie przekraczała 10°C. 5 V dobowa suma opadów co najmniej 20 mm odnotowana została m.in. w Jakuszykach (25 mm) i Lubniewicach (27 mm), natomiast 6 V najsilniejsze opady wystąpiły w Woliborzu (40 mm) i na stacjach meteorologicznych w Mikorowie (24 mm), Sierakowie (24 mm) i Ostrzeszowie II (28 mm). 7 V najsilniejsze opady wystąpiły w Jaślickach (43 mm), Rozdzielach (40 mm), w Katowicach-Muchowcu (33 mm), Brodziakach (31 mm), natomiast 8 V w miejscowości Drahle (21 mm). Najsilniejsze porywy wiatru wystąpiły 5 V na Kasprowym Wierchu (126 km/h), a 6 V do 115 km/h; Najwyższe porywy notowano 6 V: na Kasprowym Wierchu (35 m/s), na Hali Gąsienicowej (31 m/s), na Śnieżce (23 m/s) i w Zakopanem (20 m/s).



Rys. 2.2. Mapa synoptyczna (6 V 2026, godz. 12 UTC)

W kolejnych dwóch dniach nad Polską rozbudował się wyż w chłodniejszym powietrzu polarnym morskim. Przeważało zachmurzenie małe lub umiarkowane, co miało też wpływ

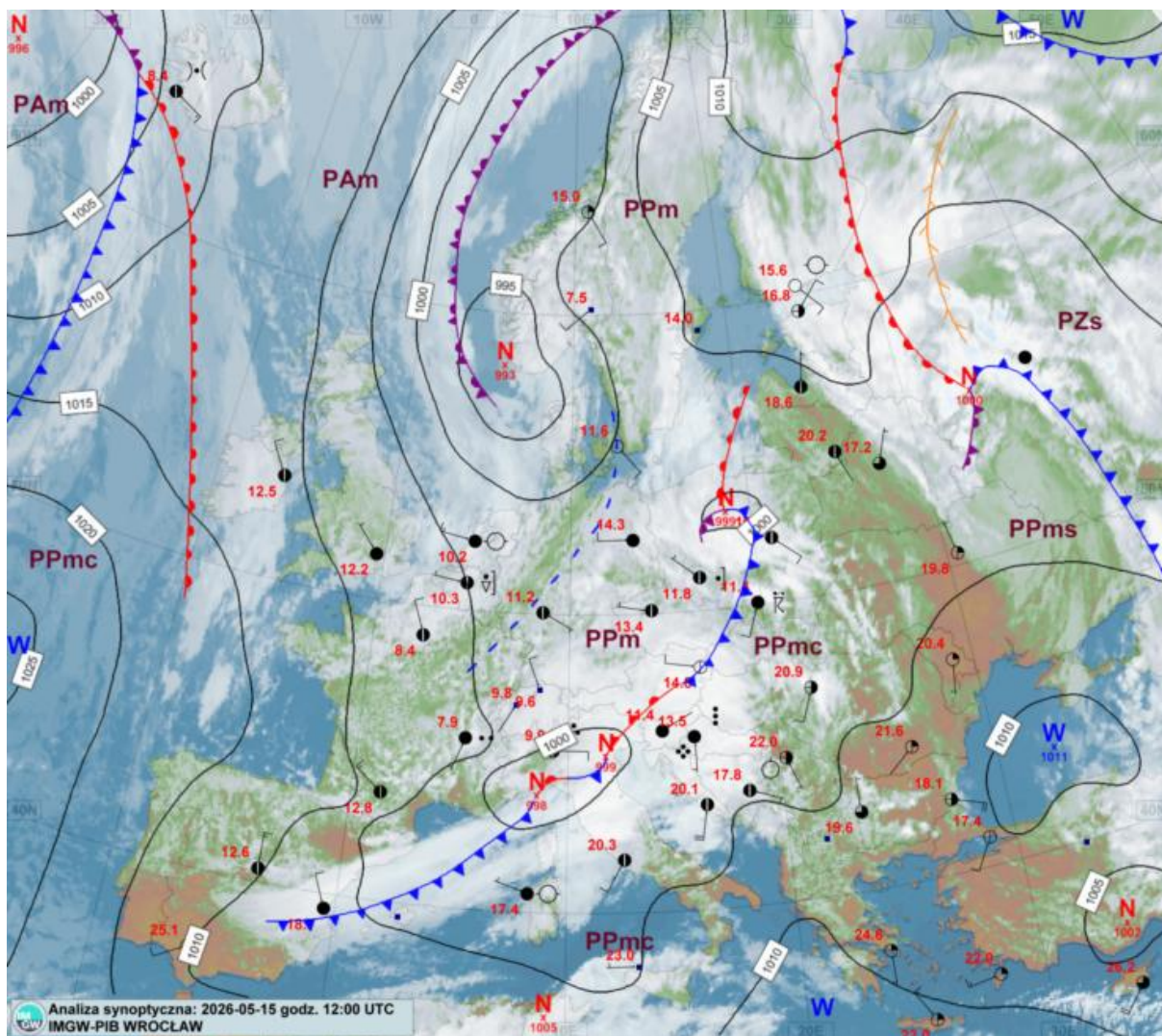
na występowanie nocnych przymrozków: 10 V w Ostrołęce temperatura minimalna wyniosła  $-1,9^{\circ}\text{C}$ , co było najniższą temperaturą w całym miesiącu. Początkowo na wschodzie i północnym wschodzie miejscami występowało większe zachmurzenie i zanikające słabe opady deszczu, a pod koniec okresu słaby deszcz pojawił się lokalnie na południu i krańcach zachodnich. Miejscami na południu tworzyły się mgły, lokalnie gęste. 10 V na Kasprowym Wierchu zanotowano poryw 21 m/s.



Rys. 2.3. Mapa synoptyczna (10 V 2026, godz. 12 UTC)

W okresie od 11 do 21 V nad Polską pogodę kształtowały głównie zatoki niżowe, co oznaczało częste przemieszczanie się frontów atmosferycznych, ale częściowo rozbudowywały się przejściowe i na ogół słabe kliny wyżowe. Dominowało zachmurzenie duże z większymi przejaśnieniami i roz pogodzeniami. W wielu regionach występowały okresami opady deszczu, okresami o umiarkowanym i silnym natężeniu, a miejscami także burze. Lokalnie tworzyły się mgły i zamglenia. Jako że był to okres przeważnie chłodny, to w rejonach podgórskich i górach sporadycznie notowano również opady deszczu ze śniegiem i śniegu. Najcieplej było na wschodzie i południowym wschodzie kraju, gdzie temperatura maksymalna osiągała  $24-25^{\circ}\text{C}$ . Opady o dobowych sumach co najmniej 20 mm występowały głównie w dniach 11-12 V oraz 15-18 V. 11 V maksymalna ilość deszczu pomierzona została m.in. na

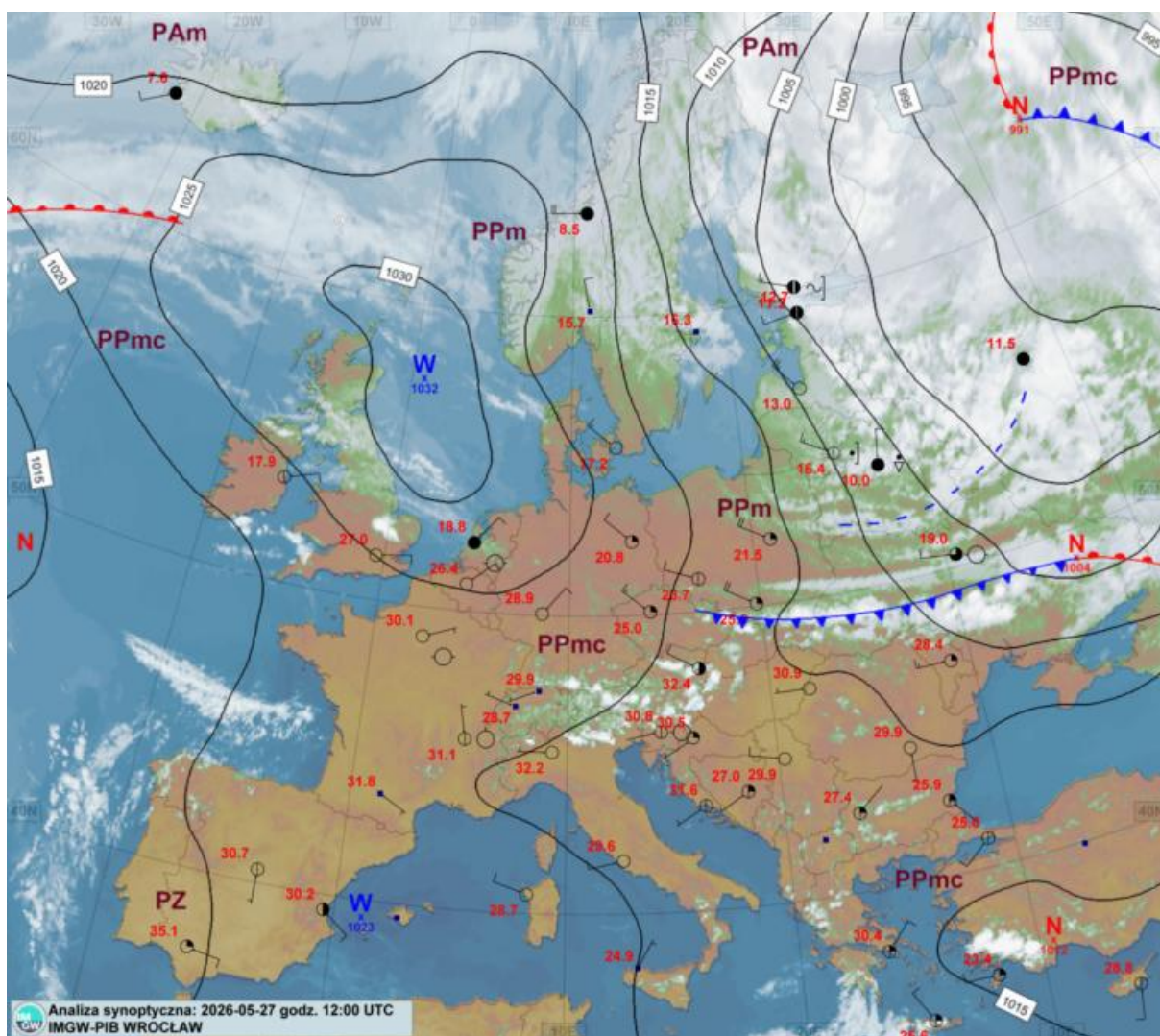
Hali Ornak 44 mm, Odrzychowicach Kłodzkich 39 mm i w Rydułtowach 34 mm; 12 V najwyższe wartości opady osiągnęły w: Różanymstoku 38 mm oraz w Puławach Dolnych 23 mm; 15 V w Tatrach zanotowano 26 mm (Morskie Oko); 16 V opady na Hali Gąsienicowej sięgnęły 60 mm; 17 V najwięcej opadów spadło w Ostrzeszowie 26 mm; 18 V dobową sumę opadów na stacji Powidz wyniosła 31 mm, a na stacji Rogowo 26 mm. Najsilniejsze porywy w tym okresie notowano na Kasprowym Wierchu (15 V) i na Śnieżce (12 V) – po 30 m/s, na Hali Gąsienicowej (15 m/s) – 27 m/s i w Rzeszowie (11 V) 21 m/s.



Rys. 2.4. Mapa synoptyczna (15 V 2026, godz. 12 UTC)

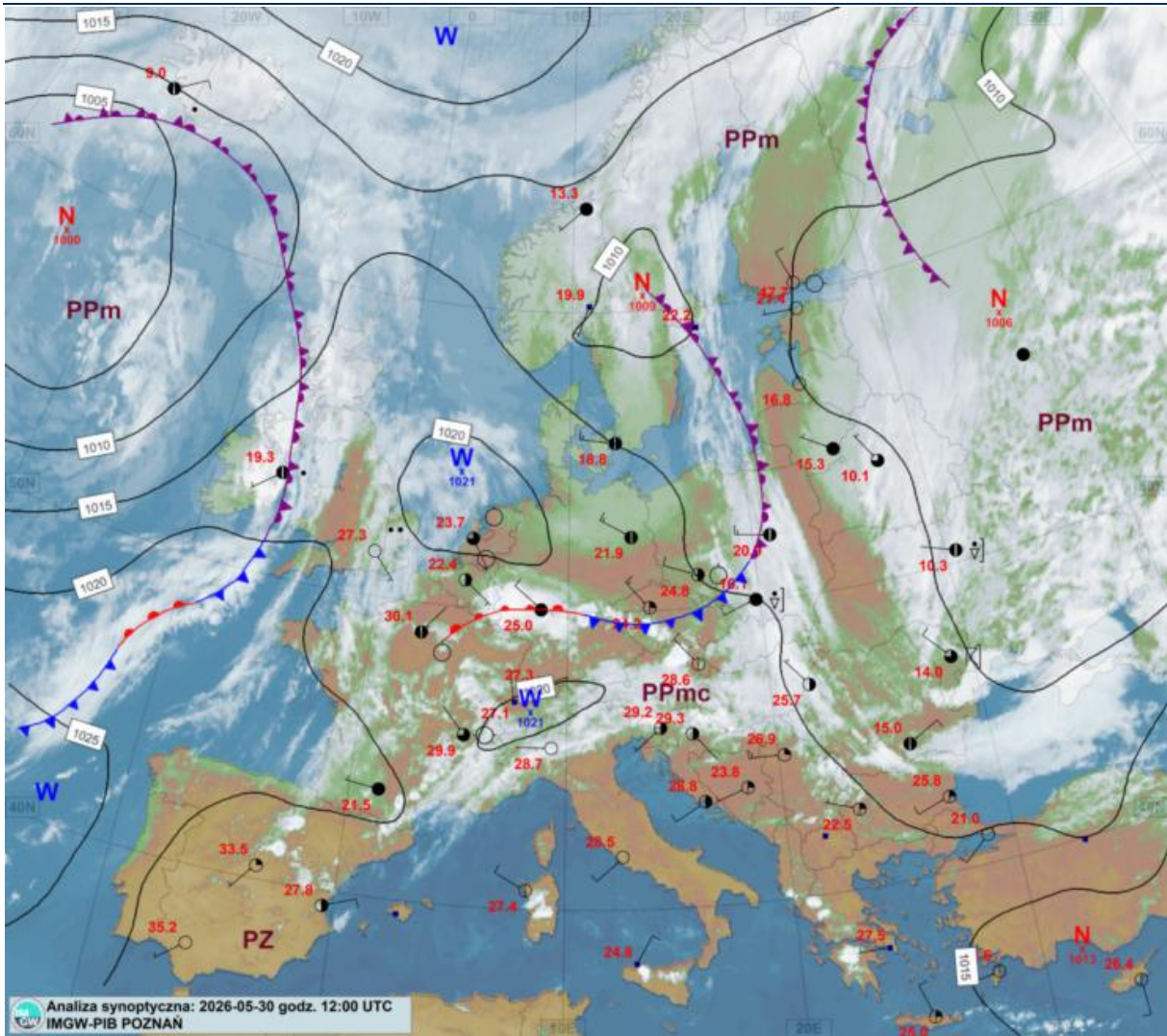
W okresie od 22 do 29 V pogodę nad Polską kształtowały głównie wyż z centrami nad zachodnią i środkową Europą, jedynie przejściowo, zwłaszcza 24 V i 27 V przez Polskę przechodziły płytkie zatoki z frontem chłodnym, związane z niżami z nad północno-wschodniej części kontynentu. Za sprawą wyżu przeważała pogoda słoneczna lub z zachmurzeniem małym i umiarkowanym, okresami wzrastającym do dużego, zwłaszcza w czasie przechodzenia frontów i głównie wówczas miejscami występowały przelotne opady deszczu i burze, lokalnie z gradem, silniejszymi porywami wiatru i opadami do około 20 mm – głównie 27 V. Najcieplej było na zachodzie kraju, gdzie temperatura maksymalna osiągała około 30°C. 27 V

w miejscowości Jastrzębia wysokość opadów wyniosła 24 mm. Najsilniejsze porywy wiatru wystąpiły 24 V na Śnieżce 24 m/s, a poza górami 27 V w Rzeszowie do 18 m/s.



Rys. 2.5. Mapa synoptyczna (27 V 2026, godz. 12 UTC)

Dwa ostatnie dni maja wiążą się z oddziaływaniem płytkich zatok niżowych oraz frontu atmosferycznego. Był to okres umiarkowanie ciepły. Zachmurzenie było duże z większymi przejaśnieniami i rozpogodzeniami. Występowały przelotne opady deszczu, lokalnie także burze i grad, głównie we wschodniej połowie kraju: 30 V w Dolinie Pięciu Stawów suma opadu wyniosła 29 mm, w Pławniowicach 27 mm, w Szczawnem 22 mm, a w Strzelcach Opolskich 20 mm, natomiast 31 V maksymalna dobowa suma wystąpiła w Międzylesiu i wyniosła 31 mm. Najsilniejsze porywy w dniach wyniosły: Śnieżka 25 m/s, Kasprowy Wierch 19 m/s, a poza górami: Racibórz 17 m/s, Zamość i Poznań po 16 m/s.



Rys. 2.6. Mapa synoptyczna (30 V 2026, godz. 12 UTC)

## Legenda do map synoptycznych:

### Zjawiska meteorologiczne

	mgła, mgła marznąca		deszcz ciągły
	marznący deszcz, mżawka		mżawka
	grad		śnieg
	burza, błyskawica		opady przelotne deszczu lub śniegu
	zawieje lub zamieć		satelitarny obraz stref zachmurzenia

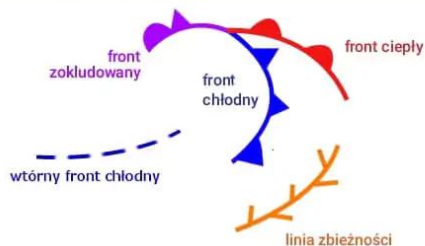
### Zachmurzenie i prędkość wiatru

	niebo bezchmurne		cisza
	stopień zachmurzenia		wiatr zmienny
			1 m/s
			2,5 m/s
			5 m/s
			7,5 m/s
			10 m/s
		...	
	zachmurzenie całkowite		22,5 m/s
	niebo niewidoczne		25 m/s
	stacja automatyczna		27 m/s

prędkość wiatru — kierunek wiatru — wielkość zachmurzenia

### Masy powietrza

PP	powietrze polarne
PA	powietrze arktyczne
PZ	powietrze zwrotnikowe
m	- morskie
k	- kontynentalne
C	- ciepłe
S	- stare



### Układy ciśnienia

<b>W</b>	Wyz		izobara co 5 hPa
<b>N</b>	Niż		

### Podsumowanie\*

Średnia obszarowa temperatura powietrza w Polsce w maju 2026 roku wynosiła 14,0°C i była wyższa od wieloletniej normy dla tego miesiąca (odchylenie od średniej z lat 1991-2020 wynosiło 0,7°C). Według kwantylowej klasyfikacji warunków termicznych miesiąc ten należy uznać za „ciepły” biorąc pod uwagę średnią dla Polski. Pod względem termicznym tegoroczny maj na przeważającym obszarze Polski był nieco powyżej normy. Najwyższe odchylenie od normy zanotowano w Zielonej Górze, gdzie temperatura była wyższa od normy o 1,4°C. Najniższe odchylenie: 0,1°C, wystąpiło na stacjach w Resku i w Suwałkach.

Najwyższą średnią miesięczną temperaturę: 15,6°C, zanotowano w Warszawie, najniższą zaś w Łebie: 11,7°C, a w górach na Kasprowym Wierchu: 3,4°C. Najwyższą dobową temperaturę maksymalną: 29,8°C, zanotowano 24 V w Lesznie oraz 26 V w Słubicach. Najniższą temperaturę minimalną: -1,9°C, zanotowano 10 V w Ostrołęce oraz -1,1°C w dniu 1 V w Lesku, a w górach: -7,4°C, wystąpiła 13 V na Kasprowym Wierchu.

W Warszawie średnia miesięczna temperatura wyniosła 15,6°C, co oznacza, że była o 1,3°C wyższa od średniej wieloletniej. Najwyższa temperatura maksymalna w Warszawie wyniosła 28,2°C i wystąpiła 24 V, natomiast najniższa temperatura minimalna: 2,5°C, wystąpiła 10 V. W latach 1951-2026 rekordową wartość temperatury maksymalnej w Warszawie zanotowano 30 V 2005 i było to 32,8°C. Najniższą temperaturę minimalną z tego wielolecia: -3,1°C, zanotowano 1 V 1971.

Pod względem opadów tegoroczny maj na znacznym obszarze kraju był miesiącem poniżej normy. Jedynie miejscami na południu klasyfikował się jako w normie: 90-110% normy, a w rejonie konurbacji śląskiej jako wilgotny: do 113% normy. Na obszarach, gdzie opady były poniżej normy, maj zapisał się jako suchy: 75-89% normy, albo bardzo suchy: 50-74% normy. Miejscami na Mazowszu, Lubelszczyźnie, Podlasiu, Ziemi Łódzkiej, Podkarpaciu i Kujawach był nawet skrajnie suchy: poniżej 50% normy. Najniższą miesięczną sumę opadów odnotowano w Mławie: 16,1 mm, tam też wystąpił najwyższy deficyt opadów: 28,4% normy wieloletniej. Najwyższa suma opadów wystąpiła w Bielsku-Białej: 88,4 mm, w górach na Hali Gąsienicowej: 195,1 mm, natomiast najwyższe odchylenie od normy zanotowano w Katowicach: 113% normy. Najwyższa dobową sumą opadów została zanotowana w Katowicach: 32,6 mm (7 V), a w górach na Hali Gąsienicowej: 59,5 mm (16 V).

W Warszawie suma opadów w maju wyniosła 25,5 mm, co stanowi 45,9% normy wieloletniej. Najwyższy dobowy opad wystąpił 24 V i wyniósł 8,9 mm. Rekordowy dobowy opad z okresu 1951-2026 zanotowano 14 V 1962 i wyniósł on 64,8 mm.

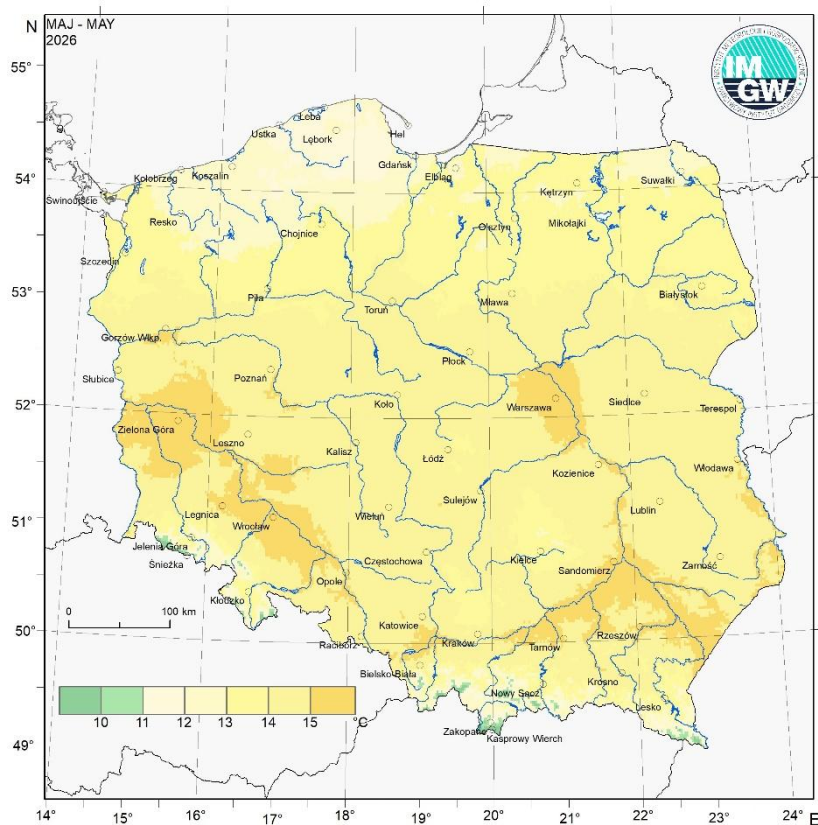
\* Podane wartości pochodzą ze stacji synoptycznych. Wszystkie odniesienia dotyczą normy wieloletniej z lat 1991-2020.

### Wartości ekstremalne dla maja w wieloleciu 1951-2026:

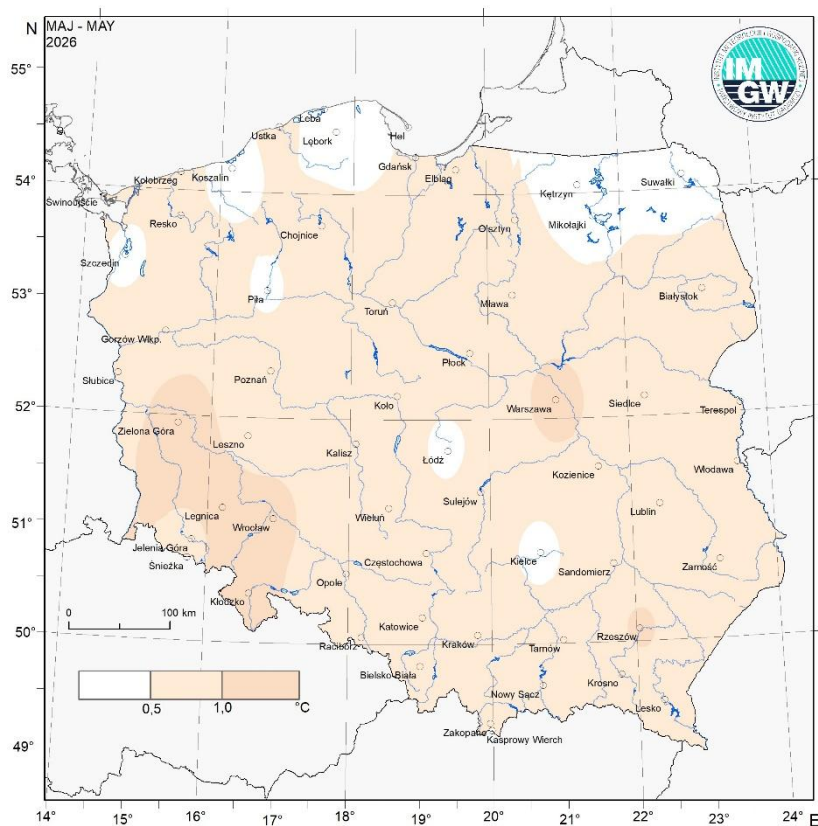
Najniższa temperatura	-7,2°C	w Toruniu	4 V 2011,
	-13,1°C	na Śnieżce	20 V 1952,
Najwyższa temperatura	35,7°C	w Lublinie	28 V 1958,
Najwyższa suma opadów	162,7 mm	w Bielsku-Białej	16 V 2010.

### Wartości ekstremalne dla maja w dziesięcioleciu 2017-2026:

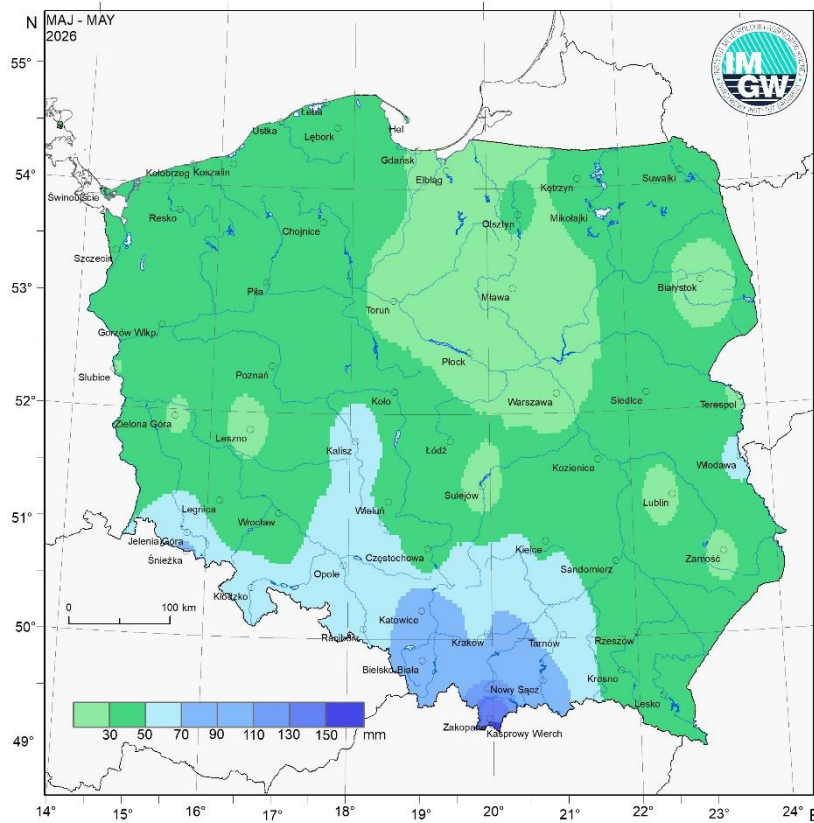
Najniższa temperatura	-4,2°C	w Kielcach	10 V 2017,
	-11,7°C	na Kasprowym Wierchu	10 V 2017,
Najwyższa temperatura	31,6°C	w Słubicach	30 V 2017,
	31,6°C	w Toruniu i w Pile	31 V 2018,
Najwyższa suma opadów	87,7 mm	w Białymstoku	7 V 2017.



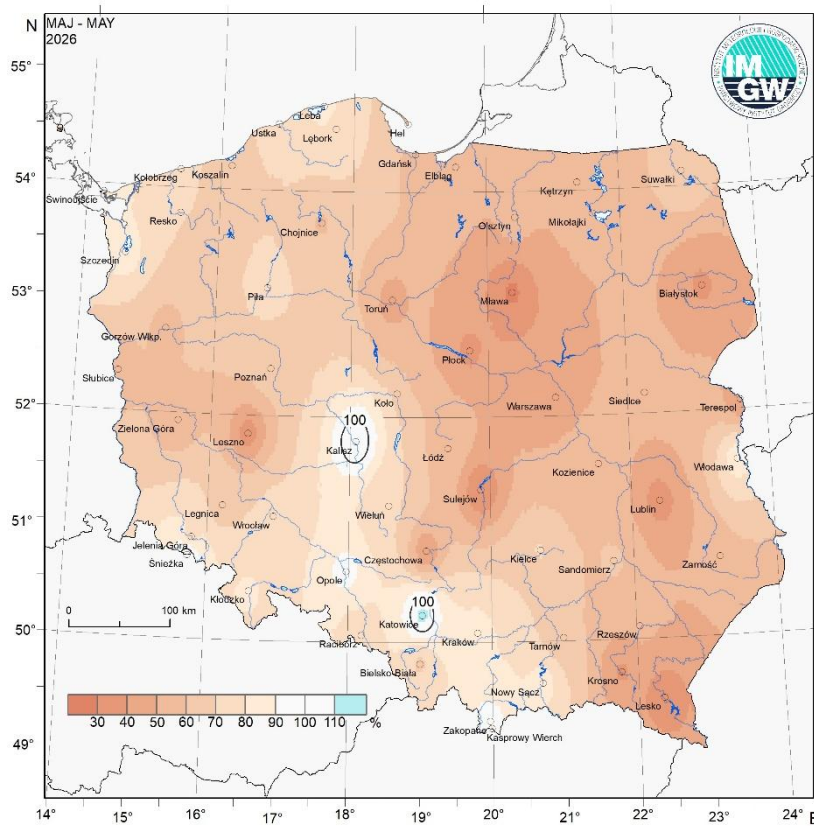
Rys. 2.7. Średnia miesięczna temperatura powietrza w maju 2026



Rys. 2.8. Odchylenie średniej miesięcznej temperatury powietrza w maju 2026, w stosunku do średniej wieloletniej 1991-2020



Rys. 2.9. Miesięczna suma opadu atmosferycznego w maju 2026



Rys. 2.10. Anomalia miesięcznej sumy opadu atmosferycznego w maju 2026, jako procent normy wieloletniej 1991-2020

Tab. 2.1. Charakterystyki meteorologiczne w maju 2026

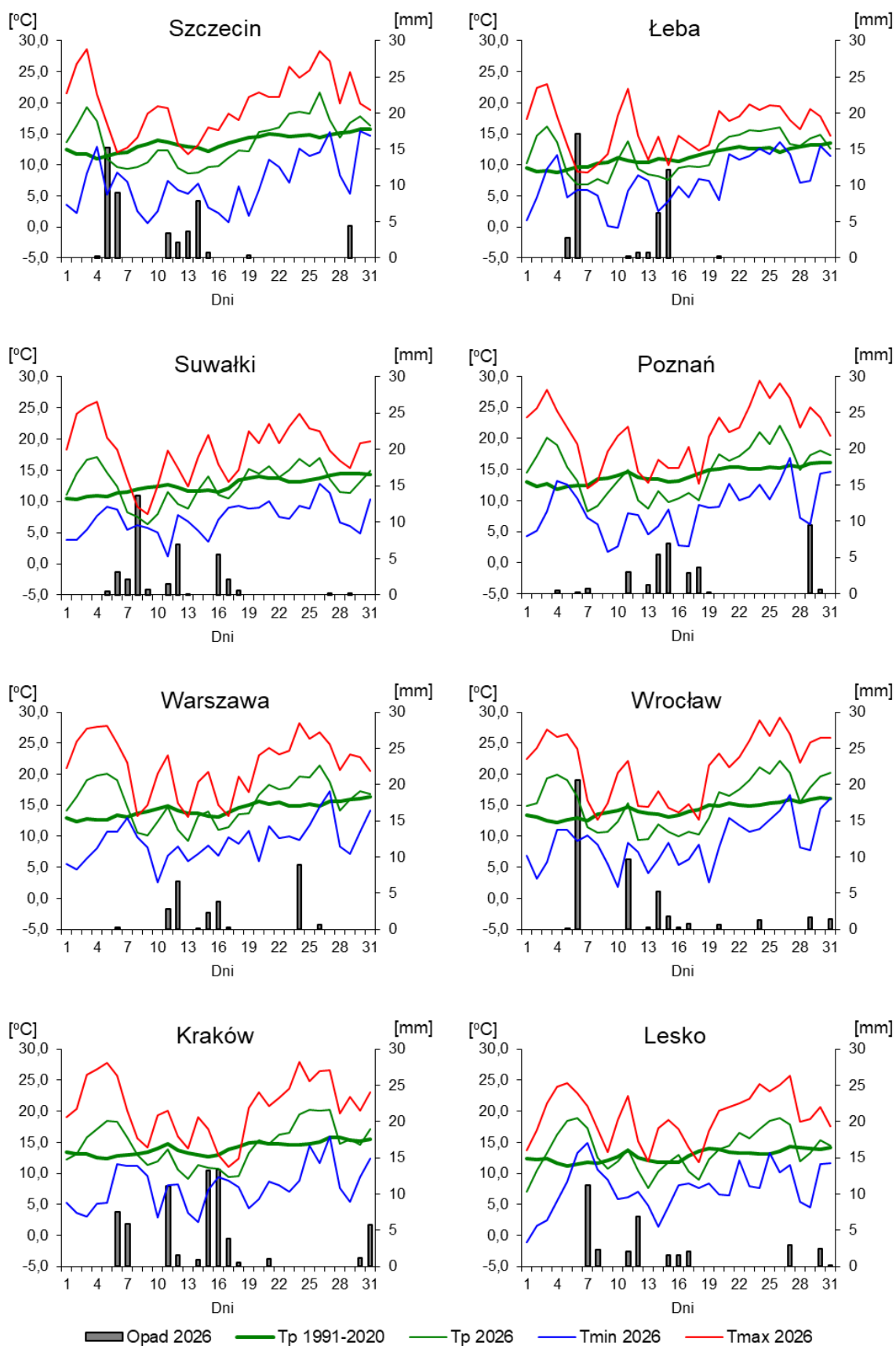
L.p.	Stacja	Temperatura powietrza						Temperatura gruntu na głęb. 5 cm		Opady atmosferyczne			Wilgotność względna		Uśłonecznienie
		$T_{\text{średnia}}$ [°C]	Odchylenie $T_{\text{śr.}}$ od normy*	$T_{\text{max}}$ [°C]	$T_{\text{min}}$ [°C]	$T_{\text{min}}$ przy gruncie [°C]	Liczba dni z $T_{\text{min}}$ przy gruncie < 0°C	$T_{\text{średnia}}$ [°C]	$T_{\text{min}}$ [°C]	Suma [mm]	% normy*	Liczba dni z opadem	Średnia %	Minimalna %	Suma [godz.]
1	Białystok	13,9	0,8	26,4	1,1	-2,0	1	.	.	26,8	39	7	67	16	232,3
2	Chojnice	13,3	0,7	27,6	1,5	-0,3	2	14,8	6,9	34,5	59	9	64	17	240,2
3	Jelenia Góra	13,3	0,9	27,6	-0,5	-2,7	3	15,6	7,2	54,8	76	12	70	18	236,2
4	Katowice	14,8	1,0	27,4	2,3	-0,7	1	16,3	8,5	85,7	113	11	63	14	245,3
5	Kielce	13,7	0,3	26,3	0,3	-0,7	2	16,3	7,0	49,3	70	10	68	19	239,9
6	Koszalin	12,6	0,3	27,1	2,2	-1,9	1	.	.	34,7	64	9	72	22	238,8
7	Kraków	14,6	0,6	27,9	2,2	0,5	-	15,0	8,0	65,8	83	12	67	18	223,1
8	Lublin	14,3	0,7	27,0	1,3	-2,2	3	15,7	6,7	25,3	36	9	65	18	245,6
9	Łódź	14,1	0,3	27,9	0,9	-1,6	4	17,1	7,0	35,1	58	10	67	17	244,5
10	Miawa	14,1	0,7	26,8	0,7	-1,5	2	17,3	6,2	16,1	28	8	65	16	242,7
11	Olsztyn	13,4	0,5	26,6	0,4	-2,4	3	18,2	5,1	32,4	54	10	67	17	227,8
12	Opole	15,0	0,8	27,7	0,9	-0,9	1	18,3	8,7	59,0	94	9	63	18	252,6
13	Poznań	14,9	0,8	29,3	1,8	-2,4	4	17,2	8,3	34,3	64	12	63	18	253,4
14	Rzeszów	15,1	1,1	27,2	1,8	-0,7	3	16,6	8,0	40,6	51	11	63	15	246,2
15	Suwałki	12,7	0,1	26,0	1,2	-0,8	1	15,3	5,0	37,3	69	13	70	19	240,5
16	Szczecin	13,9	0,3	28,6	0,6	-0,2	2	17,2	4,1	47,2	85	10	69	23	239,2
17	Terespol	14,7	0,7	27,5	1,3	-1,0	1	16,6	7,0	26,7	44	10	65	18	254,0
18	Toruń	14,7	0,9	28,7	0,8	-3,7	3	17,6	6,0	24,1	47	10	62	17	240,6
19	Warszawa	15,6	1,3	28,2	2,5	-0,9	1	17,5	3,7	25,5	46	9	59	17	267,8
20	Wrocław	15,4	1,1	29,1	1,8	0,6	-	15,8	7,8	43,6	73	12	62	18	258,4
21	Zakopane	11,5	0,8	23,9	0,3	-0,9	2	14,7	2,0	134,8	95	14	68	16	207,1
22	Zielona Góra	15,4	1,4	29,5	3,8	3,6	-	19,0	8,7	27,5	52	10	59	17	263,4

Oznaczenia:

kreska (-) - zjawisko nie wystąpiło;

kropka (.) - brak danych;

\* wartości odniesiono do norm z okresu 1991-2020



Rys. 2.11. Średnie dobowe i ekstremalne temperatury powietrza oraz dobowe sumy opadu atmosferycznego w maju 2026

## **Informacja o liczbie zarejestrowanych wyładowań atmosferycznych na obszarze Polski przez system wykrywania wyładowań PERUN**

W maju 2026 system wykrywania i lokalizacji wyładowań atmosferycznych PERUN zarejestrował na obszarze Polski 186471 wyładowań, w tym:

- 177502 wyładowań chmurowych,
- 1229 wyładowania doziemne dodatnie,
- 7740 wyładowania doziemne ujemne.

### 3. Warunki hydrologiczne

Ostatniego dnia kwietnia (30 IV) stan wody na Wiśle znajdował się głównie w strefie wody niskiej, tylko w górnym biegu i w ujściowym odcinku lokalnie w strefie wody średniej. Na Narwi występowała strefa wody niskiej. Na Bugu tego dnia stan wody układał się w strefie niskiej. Poziom wody na Odrze układał się głównie w strefie wody niskiej, tylko w górnym i ujściowym biegu miejscami w strefie wody średniej. Stan wody na Warcie układał się w strefie wody niskiej.

Opadowo maj 2026 roku był zróżnicowany. Miejscami na południu kraju klasyfikował się jako w normie: 90-110% normy, a w rejonie konurbacji śląskiej jako wilgotny: do 113% normy. Na większości obszaru Polski zapisał się jako suchy: 75-89% normy, albo bardzo suchy: 50-74% normy, a miejscami na Mazowszu, Lubelszczyźnie, Podlasiu, Ziemi Łódzkiej, Podkarpaciu i Kujawach był nawet skrajnie suchy: poniżej 50% normy.

W tab. 2.1 przedstawiono charakterystyki meteorologiczne (m.in. opadowe) dla wybranych 22 miast położonych w różnych rejonach Polski. Liczba dni z opadem w miesiącu wynosiła najczęściej około 10 dni; najwięcej, 14 dni z opadem zanotowano w Zakopanem, a najmniej, 7 dni, w Białymstoku.

Tab. 3.1. Najwyższe dobowe sumy opadu w województwach (20 mm i wyższe)

Data	Opad maks. [mm]	Lokalizacja	Województwo i % stacji z opadem powyżej 20 mm	Zlewnia
5 V	27	Lubniewice	lubuskie, 8%	Lubniewka
	25	Jakuszyce	dolnośląskie, 0%	Kamienna
6 V	40	Wolibórz	dolnośląskie, 37%	Ścinawka
	28	Ostrzeszów II	wielkopolskie, 1%	Dąbrówka
	24	Mikorowo	pomorskie, 4%	Łeba
	24	Sierakowo	zachodniopomorskie, 8%	Wieprza
7 V	43	Jaślika	podkarpackie, 14%	Jasiołka
	40	Rozdziele	małopolskie, 15%	Stradomka
	33	Katowice-Muchowiec	śląskie, 13%	Brynica
	31	Brodziaki	lubelskie, 19%	Łada
	25	Ligota Górna	opolskie, 3%	Sucha
8 V	21	Drahle	podlaskie, 2%	Sokołda
11 V	44	Hala Ornak	małopolskie, 7%	Kirowa Woda
	39	Ołdrzychowice Kłodzkie	dolnośląskie, 24%	Biała Łądecka
	34	Rydułtowy	śląskie, 13%	Odra
	28	Głuchołazy	opolskie, 27%	Biała Głuchołaska
	23	Mirków	łódzkie, 3%	Prosna
	23	Wyżniański Wierch	podkarpackie, 1%	San
	20	Ostrzeszów II	wielkopolskie, 1%	Dąbrówka
12 V	38	Różanystok	podlaskie, 7%	Sidra
	23	Puławy Dolne	podkarpackie, 8%	Wisłok
15 V	22	Hala Gąsienicowa	małopolskie, 0%	Dunajec
	26	Morskie Oko	małopolskie, 2%	Rybi Potok
16 V	60	Hala Gąsienicowa	małopolskie, 55%	Dunajec
	29	Sopotnia Wielka	śląskie, 13%	Koszarawa
	26	Chorzelów	podkarpackie, 4%	Wisła
	26	Sandomierz	świętokrzyskie, 3%	Wisła
17 V	26	Ostrzeszów II	wielkopolskie, 1%	Dąbrówka
	25	Ustroń-Równica-Wieś	śląskie, 2%	Wisła
	24	Opole-WIK	opolskie, 12%	Odra
18 V	31	Powidz	wielkopolskie, 1%	Meszna
	26	Rogowo	kujawsko-pomorskie, 10%	Wetna
27 V	24	Jastrzębia	małopolskie, 1%	Biała

Data	Opad maks. [mm]	Lokalizacja	Województwo i % stacji z opadem powyżej 20 mm	Zlewnia
30 V	29	Dolina Pięciu Stawów	małopolskie, 3%	Dunajec
	27	Pławniowice	śląskie, 4%	Kłodnica
	22	Szczawne	podkarpackie, 1%	Ośława
	20	Strzelce Opolskie	opolskie, 3%	Mała Panew
31 V	31	Międzylesie	dolnośląskie, 3%	Nysa Kłodzka

W tabeli 3.1 umieszczono najwyższe w województwach dobowe sumy opadu (20 mm i wyższe), jakie wystąpiły w poszczególnych dniach maja. Na podstawie tych informacji można stwierdzić, że w maju opady przekraczające 20 mm na dobę (uznawane za potencjalnie niebezpieczne) były notowane przez kilkanaście dni w miesiącu, głównie w południowej części kraju. Najwyższa dobowo suma opadów została zarejestrowana w dniu 16 V na Hali Gąsienicowej, spadło tam 60 mm.

Tab. 3.2. Najwyższe dobowe przyrosty stanu wody (40 cm i wyższe, o 6 UTC)

Data	Województwo	Rzeka	Stacja hydrologiczna	Przyrost stanu 6 UTC [cm]
4 V	kujawsko-pomorskie	Wda	Krąplewice	80
7 V	dolnośląskie	Ślęza	Białobrzezie	52
	dolnośląskie	Piława	Mościsko	43
8 V	śląskie	Przemsza	Jeleń	100
	śląskie	Warta	Kręciwilk	52
11 V	kujawsko-pomorskie	Wda	Krąplewice	79
	dolnośląskie	Bystrzyca	Lubachów	44
	małopolskie	Dunajec	Czchów	40
12 V	śląskie	Kłodnica	Kłodnica	71
	śląskie	Gostynia	Bojszowy	50
	śląskie	Ruda	Rybnik-Gotartowice	44
	dolnośląskie	Ścinawka	Gorzuchów	41
17 V	małopolskie	Dunajec	Nowy Targ-Kowaniec	84
	małopolskie	Kamienica	Nowy Sącz	84
	małopolskie	Dunajec	Nowy Targ	70
	małopolskie	Biały Dunajec	Szaflary	66
	małopolskie	Wisła	Grabie	64
	małopolskie	Białka	Trybsz 2	59
	małopolskie	Niedziczanka	Niedzica	58
	małopolskie	Biała	Grybów	54
18 V	małopolskie	Wisła	Czernichów-Prom	93
	kujawsko-pomorskie	Wda	Krąplewice	80
	śląskie	Soła	Czaniec-Kobiernice	73
	śląskie	Odra	Krzyżanowice	70
	dolnośląskie	Bystrzyca	Lubachów	44
20 V	dolnośląskie	Odra	Ścinawa	55
29 V	kujawsko-pomorskie	Wda	Krąplewice	60

Na rzekach w maju notowano głównie stabilizację i niewielkie spadki, lokalne i okresowe wahania związane były ze spływem wód opadowych i z pracą urządzeń hydrotechnicznych. Widoczny był także wpływ północnej cyrkulacji na poziom wody w Bałtyku.

Zestawienie najwyższych dobowych przyrostów stanu wody (40 cm i wyższe, o 6 UTC) zamieszczono w tab. 3.2. Umieszczone tu najwyższe dobowe wartości wzrostów stanu wody,

zgodnie z zasadą przyjętą w miesięcznych Biuletynach PSHM, dotyczą wartości z godz. 6 UTC. Również informacje o wysokości przekroczeń stanu ostrzegawczego i alarmowego podawane są w Biuletynach PSHM wg stanu na godz. 6 UTC.

Najważniejszymi przyczynami wysokich wzrostów stanu wody w rzekach w tym miesiącu były: spływ wód opadowych oraz praca urządzeń hydrotechnicznych.

Nie notowano w maju przekroczeń stanu alarmowego, a stan ostrzegawczy został przekroczony tylko na Ślęzie w Białobrzeziu (7 V, o 15 cm) oraz na Białce na stacji wodowskazowej Trybsz 2 (17 V, o 7 cm).

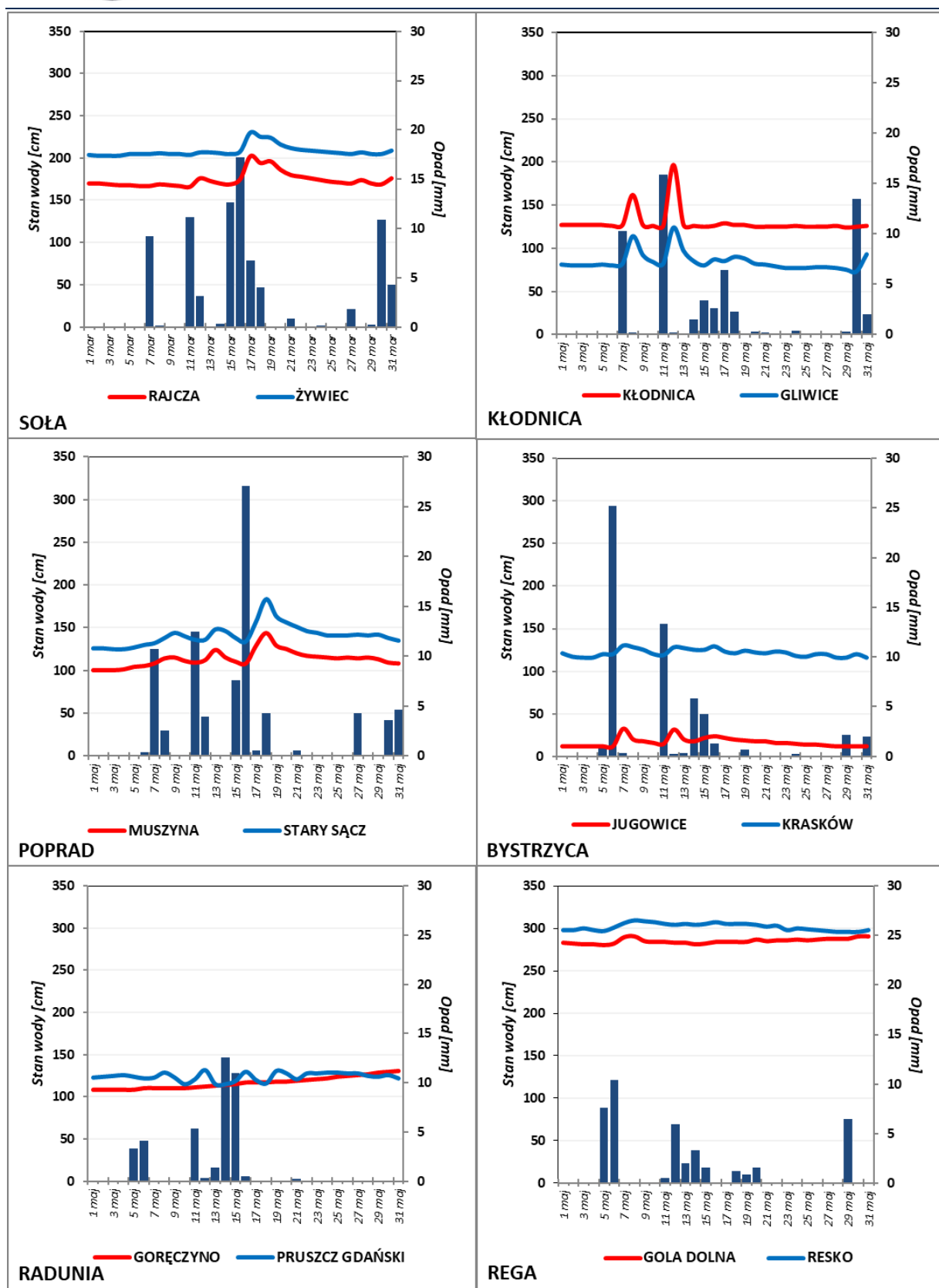
Ostatniego dnia maja (31 V) stan wody na Wiśle znajdował się głównie w strefie wody niskiej, tylko w górnym biegu i w ujściowym odcinku lokalnie w strefie wody średniej. Na Narwi występowała strefa wody niskiej. Na Bugu tego dnia stan wody układał się w strefie niskiej. Poziom wody na Odrze układał się głównie w strefie wody niskiej, tylko w górnym i ujściowym biegu miejscami w strefie wody średniej. Stan wody na Warcie układał się w strefie wody niskiej.

W maju wartości stanu wody niższe lub równe najniższej dotychczas obserwowanej wartości, do roku 2025, odnotowano na 9 stacjach wodowskazowych, na 6 w Dorzeczu Wisły i na 3 w Dorzeczu Odry, najwięcej w Trawnikach na Wieprzu (31 V) i w Bardzie na Nysie Kłodzkiej (29, 30, 31 V), kiedy najniższy stan wody był niższy od najniższego (do 2025 roku) o 5 cm. W poprzednim miesiącu takie wartości odnotowano na 6 stacjach.

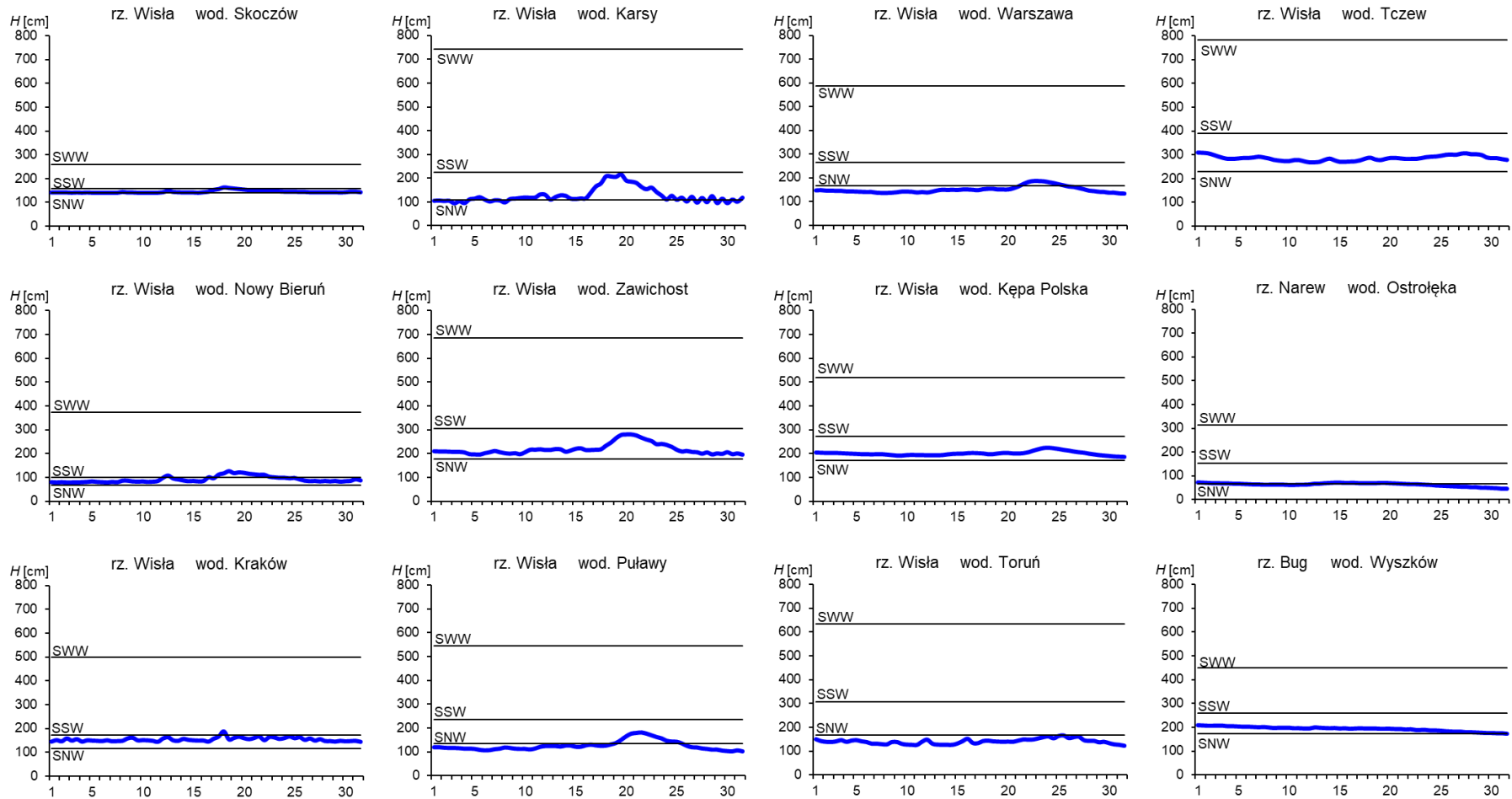
Tab. 3.3. Stacje wodowskazowe, na których stan wody w maju 2026 był niższy od dotychczas obserwowanych wartości (do roku 2025)

Lp.	Rzeka	Stacja wodowskazowa	$H_{\min \text{ abs.}}$ [cm]	Maj 2026 $H_{\min}$ [cm]	$\Delta H$ * [cm]	Data wystąpienia $H_{\min}$ (maj 2026)
<b>Dorzecze Wisły</b>						
1	Grabowa	Grabowo	9	9	0	1
2	Czarna	Połaniec	94	90	4	28
3	Bukowa	Ruda Jastkowska	22	21	1	28, 29, 30, 31
4	Świślina	Rzepin	96	95	1	27
5	Wieprz	Trawniki	284	279	5	31
6	Radomka	Rogożek	104	104	0	31
<b>Dorzecze Odry</b>						
1	Mała Panew	Krupski Młyn	17	17	0	29
2	Nysa Kłodzka	Bardo	38	33	5	29, 30, 31
3	Liswarta	Kule	74	71	3	30

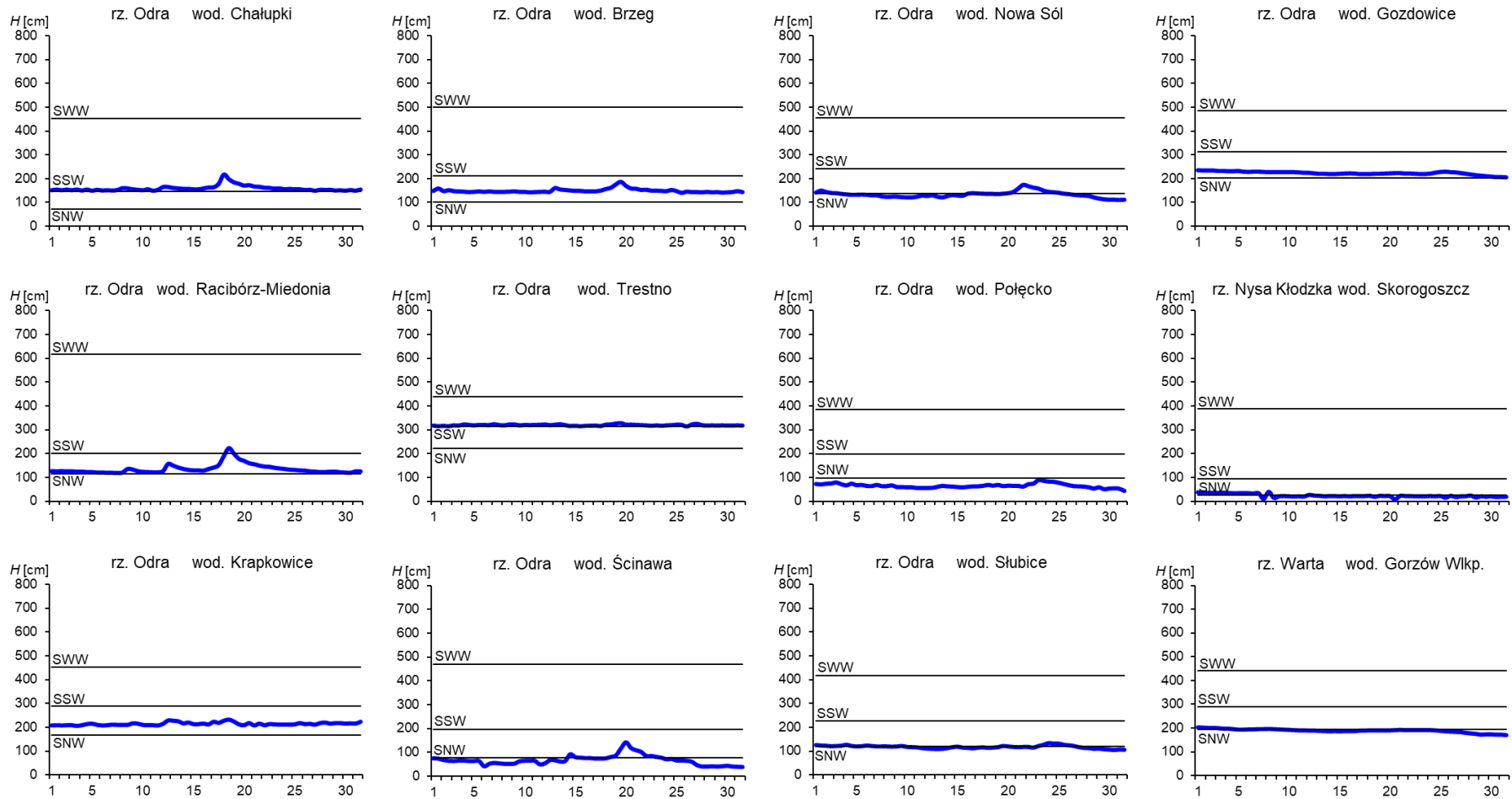
\*  $\Delta H = H_{\min \text{ abs.}} - H_{\min} (\text{maj } 2026)$



Rys. 3.1. Wysokość opadów średnich [mm] i przebieg stanu wody [cm] dla wybranych zlewni w Polsce w maju 2026



Rys. 3.2. Hydrogramy stanu wody na Wiśle, Narwi i Bugu w maju 2026



Rys. 3.3. Hydrogramy stanu wody na Odrze, Nysie Kłodzkiej i Warcie w maju 2026

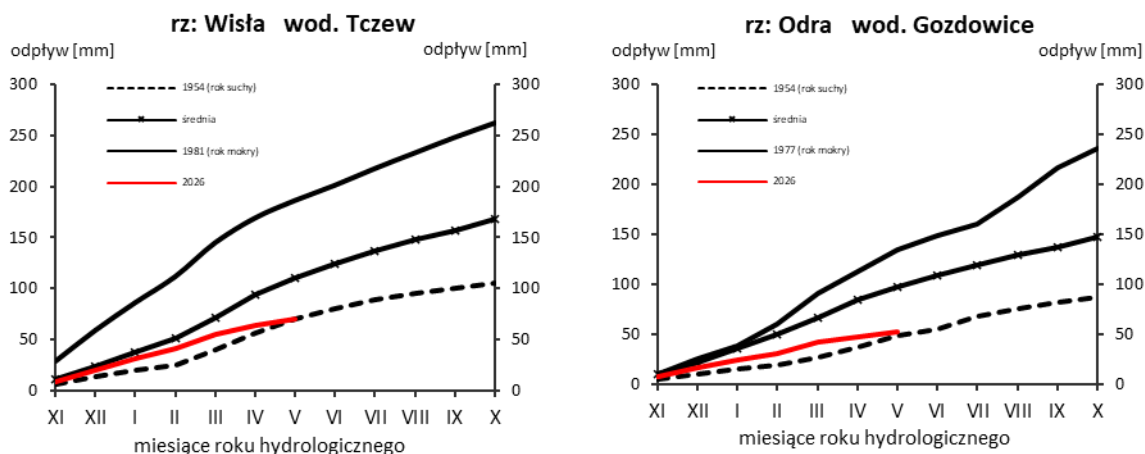
#### 4. Odpływ rzeczny

W maju wartości odpływu w przekrojach rzek dorzecza Wisły i Odry były zróżnicowane, ale przeważnie znacznie niższe od normy.

Odpływ (tab. 4.1) w dorzeczu Wisły wynosił od 27,5% normy w Przemyślu na Sanie do 60,8% normy w Nowym Sączu na Dunajcu, a w dorzeczu Odry od 15,8% normy w Osetnie na Baryczy do 40,9% w Nowym Dreżdenku na Noteci. W rzekach Przymorza odpływ stanowił 62,9% odpływu normalnego w Resku na Redze, 75,9% w Słupsku na Słupi, a w Sępopolu na Łynie 51,5%.

W dorzeczu Wisły odpływ kształtował się od 0,89 SNQ w Koźminie na Wieprzu do 3,86 SNQ w Nowym Sączu na Dunajcu, a w dorzeczu Odry od 0,81 SNQ w Nowym Dreżdenku na Noteci do 1,45 SNQ w Raciborzu-Miedoni na Odrze. W rzekach Przymorza odpływ wyniósł 1,15 SNQ w Resku na Redze, 1,28 SNQ w Słupsku na Słupi, a w Sępopolu na Łynie 1,41 SNQ.

Odpływ Wisły do Bałtyku wyniósł w maju 6,44 mm, tj. 38,8% normy, Odrą odpłynęło 5,34 mm, tj. 38,6% normy.



Rys. 4.1. Krzywe sumowe odpływu Wisły w Tczewie i Odry w Gozdowicach

Tab. 4.1. Odpływ w maju 2026 w stosunku do wartości charakterystycznych z wielolecia 1951-2020, w wybranych profilach wodowskazowych

Lp	Rzeka	Przekrój	A [km <sup>2</sup> ]	Wartości średnie z okresu 1951 - 2020								Maj 2026					
				$\bar{Q}_5$ [m <sup>3</sup> /s]	$\bar{H}_5$ [mm]	$\bar{V}_5$ [mln m <sup>3</sup> ]	$\bar{Q}_r$ [m <sup>3</sup> /s]	$\bar{H}_r$ [mm]	$\bar{V}_r$ [mln m <sup>3</sup> ]	$\Sigma\bar{k}$	SNQ [m <sup>3</sup> /s]	Q [m <sup>3</sup> /s]	H [mm]	V [mln m <sup>3</sup> ]	n [%]	Q/SNQ	$\Sigma k$
1	2	3	4	5	6	7	8	9	10	11	12	13	14	15	16	17	18
1	Wisła	Sandomierz	31 810	356	30,0	955	287	285	9 063	0,603	101	170	14,3	455	47,7	1,69	0,468
2	Wisła	Warszawa	84 945	655	20,7	1 755	564	210	17 801	0,626	228	277	8,73	742	42,3	1,21	0,432
3	Wisła	Tczew	193 923	1 200	16,6	3 213	1 032	168	32 539	0,661	417	466	6,44	1 248	38,8	1,12	0,422
4	Dunajec	Nowy Sącz	4 337	94,5	58,4	253	65,0	472	2 049	0,538	14,9	57,5	35,5	154	60,8	3,86	0,501
5	San	Przemysł	3 688	65,9	47,9	177	52,0	445	1 641	0,653	10,3	18,1	13,1	48,5	27,5	1,75	0,337
6	Wieprz	Kośmin	10 293	37,9	9,86	101	36,8	113	1 159	0,675	16,0	14,2	3,70	38,0	37,5	0,89	0,357
7	Pilica	Sulejów	3 927	22,6	15,4	60,5	22,0	177	695	0,664	8,98	9,20	6,27	24,6	40,7	1,02	0,376
8	Narew	Ostrołęka	21 921	125	15,3	335	108	156	3 411	0,719	42,7	42,4	5,18	114	33,9	0,99	0,358
9	Bug	Wyszaków	38 394	177	12,3	473	152	125	4 799	0,719	52,3	59,5	4,15	159	33,7	1,14	0,332
10	Łyna	Sępólno	3 640	23,9	17,6	64,0	24,5	212	773	0,716	8,74	12,3	9,05	32,9	51,5	1,41	0,623
11	Odra	Racibórz-Miedonia	6 729	76,7	30,5	205	64,3	302	2 029	0,630	15,4	22,4	8,92	60,0	29,2	1,45	0,392
12	Odra	Ścinawa	29 612	206	18,6	552	177	189	5 589	0,622	62,9	66,7	6,03	179	32,4	1,06	0,341
13	Odra	Nowa Sól	36 840	216	15,7	578	200	171	6 292	0,634	79,4	77,0	5,60	206	35,7	0,97	0,356
14	Odra	Gozdowice	109 810	567	13,8	1 518	512	147	16 141	0,668	241	219	5,34	587	38,6	0,91	0,366
15	Nysa Kł.	Skorogoszcz*	4 489	45,9	27,4	123	35,7	251	1 127	0,582	9,12	11,2	6,68	30,0	24,4	1,23	0,262
16	Barycz	Osetno	4 580	11,4	6,67	30,6	14,8	102	466	0,722	1,55	1,80	1,05	4,8	15,8	1,16	0,275
17	Bóbr	Żagań	4 255	43,9	27,7	118	37,2	276	1 174	0,660	11,5	12,2	7,68	32,7	27,8	1,07	0,353
18	Warta	Sieradz	8 156	43,9	14,4	117	44,3	171	1 396	0,668	21,0	17,7	5,81	47,4	40,4	0,84	0,397
19	Warta	Poznań	25 909	99,6	10,3	267	99,4	121	3 135	0,699	39,6	37,7	3,90	101	37,9	0,95	0,379
20	Noteć	N. Drezdenko	15 932	76,2	12,8	204	72,6	144	2 289	0,673	38,4	31,2	5,25	83,6	40,9	0,81	0,354
21	Rega	Resko	1 134	8,38	19,8	22,4	8,70	242	274	0,678	4,57	5,27	12,4	14,1	62,9	1,15	0,434
22	Słupia	Słupsk	1 452	14,4	26,5	38,5	15,6	338	491	0,636	8,52	10,9	20,1	29,2	75,9	1,28	0,517

\* - Przepływ jest pod wpływem gospodarki wodnej w zbiorniku.

#### Objaśnienia do tab. 4.1.

$Q_m$	przepływ średni miesięczny z wielolecia,
$H_m$	odpływ miesięczny średni z wielolecia,
$V_m$	odpływ miesięczny średni z wielolecia,
$m$	indeks miesiąca
$Q_r$	przepływ średni roczny, z wielolecia,
$H_r$	odpływ roczny średni z wielolecia,
$V_r$	odpływ roczny średni z wielolecia,
$r$	indeks roku
$\sum k^-$	wskaźnik sumarycznego odpływu od początku roku hydrologicznego (1 listopada) w stosunku do odpływu średniego rocznego będącego sumą odpływów średnich miesięcznych z wielolecia
SNQ	przepływ średni z minimalnych przepływów rocznych z wielolecia,
$Q$	przepływ średni miesięczny bieżącego roku,
$H$	odpływ miesięczny bieżącego roku,
$V$	odpływ miesięczny bieżącego roku,
$n$	procent w stosunku do wartości średniej z wielolecia $n = Q / \bar{Q} * 100\% = H / \bar{H} * 100\% = V / \bar{V} * 100\%$ ,
$k$	wskaźnik odpływu miesięcznego w stosunku do odpływu średniego rocznego $k = H / \bar{H}_r = V / \bar{V}_r$
$\sum k$	wskaźnik sumarycznego odpływu od początku roku hydrologicznego (1 listopada) do końca danego miesiąca w stosunku do odpływu średniego rocznego

## 5. Jeziora



Rys. 5.1. Lokalizacja jezior bazowych i bilansowych sieci limnologicznej

Tab. 5.1. Morfometria i zlewnie jezior

Lp.	Jezioro	Jezioro				Zlewnia	Powierzchnia zlewni jeziora <sup>2)</sup>
		Powierzchnia <sup>2)</sup>	Objętość <sup>1)</sup>	Głębokość średnia <sup>1)</sup>	Głębokość maksymalna <sup>1)</sup>		[km <sup>2</sup> ]
		[km <sup>2</sup> ]	[mln m <sup>3</sup> ]	[m]	[m]		
1	Sławskie	8,3	43	5,2	12,3	Obrzyca – Odra	206,1
2	Powidzkie	10,7	131	12,7	45,4	Meszna – Warta	79,6
3	Komorze	3,9	49	11,8	34,7	Piława – Gwda	35,8
4	Sławianowskie	2,9	18	6,6	15,0	Głomia – Gwda	107,7
5	Ostrowite	3,6	36	9,4	28,5	Płociczna – Drawa	311,3
6	Morzycko	3,2	50	14,5	60,0	Słubia – Odra	60,6
7	Rajgrodzkie	14,6	143	9,4	52,0	Jegrznia – Biebrza	742,8
8	Dejguny	7,7	93	12,0	45,0	Pisa – Narew	57,7
9	Bachotek	2,2	15	7,2	24,3	Skarlanka – Drwęca	233,4
10	Jasień	5,7	48	8,3	32,2	Łupawa	71,7
11	Raduńskie Górne	3,8	60	15,5	43,0	Radunia	73,6
12	Dadaj	9,7	121	12,3	39,8	Wadąg – Łyna	340,1

<sup>1)</sup> Atlas Jezior Polski (1996, 1997, 2000)

<sup>2)</sup> Mapa Podziału Hydrograficznego (2010)

W maju - w porównaniu do kwietnia - średni poziom wody dla wszystkich akwenów był niższy o przeszło 4 cm. W dziesięciu akwenach zanotowano spadek średniego poziomu wody, w dwóch – wzrost. Największa wartość miesięczna zmian lustra wody to spadek o 15 cm (Sławianowskie), a niewiele mniejszą wartością był spadek o 14 cm (Dadaj). Mimo dominujących i przedstawionych wyżej spadków poziomu wody, w poszczególnych jeziorach stany wody układały się przede wszystkim w strefie stanów wysokich (siedem akwenów); wodę niską i średnią posiadały odpowiednio cztery jeziora oraz jedno (Sławianowskie). Największe przekroczenie stanu średniego zanotowano w jez. Powidzkim (-60 cm), a w kolejnych jeziorach pod tym względem było ono zdecydowanie niższe (maksymalnie zarejestrowano +23 cm w Dejgunach). Z kolei różnica poziomu wody między stanem bieżącym a wieloletnim wyniosła, średnio dla wszystkich akwenów blisko 3 cm i oznacza to, iż średnio w każdym monitorowanym jeziorze stan bieżący był niższy od wieloletniego o przeszło 3 cm. Wartość 3 cm, jest wartością średnią dla wszystkich zbiorników, ale w poszczególnych jeziorach sytuacja ta wyglądała różnie: w maju niedobór wody widoczny był w pięciu jeziorach (największy był w Powidzkim), a nadmiar wody obserwowano w siedmiu (największy odnotowano w Dejgunach).

W miarę ogrzewania się powietrza, wzrastała także temperatura wody w akwenach. Średnia miesięczna temperatura wody, mierzona przy wodowskazach, znacznie wzrosła we wszystkich jeziorach: wyniosła ona w maju 14,2°C i była wyższa o 6,3°C od ubiegłomiesięcznej. Najwyższą jej wartość zmierzono w wodach Sławskiego (17,1°C), a najniższą – w wodach Dejgun (11,5°C). Ekstremalne dzienne temperatury wody zarejestrowano w Sławskim (22,0°C, 27 V) oraz Raduńskim G. (6,6°C, 7 V). Wzrost średniej miesięcznej temperatury wody, wynosił maksymalnie 7,0°C (Raduńskie G.) i minimalnie 4,7°C (Dejguny). Temperatura wody jezior mazurskich i pomorskich wynosiła średnio odpowiednio 12,7°C oraz 13,5°C i była zdecydowanie niższa niż jezior położonych w pozostałej części kraju (15,3°C).

Średnia dla wszystkich jezior widzialność krążka Secchiego będąca miarą przezroczystości wody wyniosła 3,0 m tj. mniej niż w maju ubiegłego roku aż o 1,2 m. Wartości skrajne widzialności wynosiły: 6,0 m w Ostrowitym i 1,7 m w Dadaju. Wartość 4 metrów tj. wysoką wartość widzialności krążka Secchiego, oprócz wspomnianego Ostrowitego, zmierzono także w wodach Powidzkiego.

W maju wraz ze wzrostem temperatury powietrza i wody, w akwenach rozpoczęło się tworzenie letniej stratyfikacji termicznej. Aktualnie wykonane pomiary pokazały, że wszystkie jeziora były jeszcze w trakcie homotermii wiosennej. Pomiary wykonano na 12 jeziorach sieci badawczej z czego dwa akweny są płytkie, a pozostałe dziesięć - głębokie. W sieci tej są następujące jeziora: Sławskie (niestratyfikowane), Powidzkie, Komorze, Sławianowskie (niestratyfikowane), Ostrowite, Morzycko, Rajgrodzkie, Dejguny, Bachotek, Jasień, Raduńskie Górne i Dadaj. Poniższa krótka charakterystyka (zarówno temperatury jak i natlenienia wody) dotyczy jezior stratyfikowanych.

Temperatura wody powierzchniowej mierzona w głębockach była zmienna i wynikało to przede wszystkim z chwiejnych warunków pogodowych. Początki termicznego różnicowania się mas wody zauważalne były we wszystkich akwenach. Temperatura warstwy

wód powierzchniowych oscylowała wokół wartości 12°C. Najwyższą temperaturę zarejestrowano w wodach powierzchniowych Jeziora Jasień (na głębokości 1 m) i wynosiła ona 18,7°C. Najniższą zaś temperaturę wód powierzchniowych zmierzono w Dejgunach i wynosiła ona około 10,5°C. Leżący poniżej i kształtujący się metalimnion był chłodniejszy, a gradient spadku temperatury wody w tej strefie był mały i zazwyczaj wynosił niecały 1°C/mb; najwyższy zanotowano w Komorzu i wyniósł on 2,8°C/mb (między 5 a 6 m głębokości). Wody głębinowe leżące najniżej sięgały aż do dna danego zbiornika i w związku z tym, strefa ta była najgrubsza w jeziorach głębokich (m.in. w Morzycku, gdzie stwierdzono największą jego miąższość, która przekraczała 45 m). Wysoką temperaturę wód głębinowych zmierzono w wielu jeziorach jeszcze na głębokości około 10 metrów (ok. 9°C), a z kolei najniższą stwierdzono tuż przy dnie w głębokim Rajgrodzkim (3,5°C); nieco wyższą temperaturę, też przy dnie, zmierzono w Dadaju (4,2°C).

Średnia temperatura wody dla wszystkich jezior stratyfikowanych w całym pionie pomiarowym wyniosła 7,8°C, czyli niewiele więcej niż w maju ub.r. (o 0,3°C). Jak można było przypuszczać w obrębie wód powierzchniowych zmierzono najwyższą temperaturę (Jasień, 18,7°C), a w obrębie wód naddennych - najniższą (Rajgrodzkie, 3,5°C). Natomiast najmniejszą różnicę temperatur między wodami powierzchniowymi i naddennymi zmierzono w Dejgunach (5,6°C); w maju ub.r. różnica ta była identyczna co do wartości, ale w innym jeziorze (tj. w Dadaju).

Homotermia wiosenna, a także rozpoczęcie procesu letniej stratyfikacji termicznej widoczne było w rozkładzie oraz zawartości tlenu rozpuszczonego w poszczególnych zbiornikach. W kontrolowanych akwenach natlenienie wody było dobre, bowiem w całym pionie pomiarowym wartość średnia dla wszystkich jezior wyniosła 8,0 mgO<sub>2</sub>/dm<sup>3</sup> (ale mniej niż w tym samym miesiącu ub.r. o 1,1 mgO<sub>2</sub>/dm<sup>3</sup>). Najniższą wartość zmierzono w Ostrowitym (4,3 mgO<sub>2</sub>/dm<sup>3</sup>), a najwyższą stwierdzono w jez. Dejguny (11,2 mgO<sub>2</sub>/dm<sup>3</sup>); oprócz Dejgun w żadnym jeziorze nie określono, średniego dla całego pionu pomiarowego, natlenienia wody wyższego od 10 mgO<sub>2</sub>/dm<sup>3</sup>. Analizowane jeziora znajdowały się w trakcie homotermii wiosennej i nie posiadały jeszcze uwarstwienia wody typowego dla lata.

W zakresie natlenienia wód powierzchniowych, to we wszystkich jeziorach stwierdzono ich dobre natlenienie (około 10 mgO<sub>2</sub>/dm<sup>3</sup>), a najwyższe zmierzono w Raduńskim G. (13,4 mgO<sub>2</sub>/dm<sup>3</sup>). Niewielki wzrost natlenienia na głębokości około 8 metrów odnotowano w wodach trzech jezior (tj. w Morzycku, Komorzu i Powidzkim). Natomiast w wodach głębinowych większości badanych jezior (wszystkie oprócz dwóch jezior Bachotek i Ostrowite) zawartość tlenu rozpuszczonego w wodzie była dobra (około 7 mgO<sub>2</sub>/dm<sup>3</sup>). Zróżnicowanie natlenienia wody w pionie pomiarowym zazwyczaj było stosunkowo niewielkie, ale w tym momencie czasu trudno mówić o strefach beztlenowych w jeziorach, bowiem jedynie tuż przy dnie występował naturalny spadek zawartości tlenu w wodzie w wielu akwenach. Wyjątkiem było tu jedynie wspomniane wyżej jezioro Bachotek, gdzie można mówić o braku tlenu rozpuszczonego w wodzie już od pięciu metrów od dna.

Jeziora Sławskie i Sławianowskie jako jeziora niestratyfikowane termicznie posiadały prosty, ale bardzo nietrwały, układ termiczno-tlenowy.

Tab. 5.2. Stan i temperatura wody jezior w maju 2026

Lp	Jezioro	$\bar{H}_v(1981-2020)$			$H_v$			Stan wody	$\Delta H$			$T_v$			$\Delta T$		
		NNW	SSW	WWW	NW	SW	WW		NW	SW	WW	NT	ST	WT	NT	ST	WT
		[cm]			[cm]				[cm]			[°C]			[°C]		
1	Sławskie	156	174	189	182	185	186	wysoki	-4	-3	-4	12,8	17,1	22,0	5,3	6,7	8,9
2	Powidzkie	421	466	511	386	389	392	niski	-2	-1	1	11,6	14,1	17,3	6,6	6,4	6,1
3	Komorze	124	132	142	116	117	118	niski	-1	-2	-2	11,3	14,7	18,6	5,5	6,1	7,5
4	Sławianowskie	174	203	227	189	195	201	średni	-13	-15	-15	10,2	14,9	18,4	5,2	6,7	5,8
5	Ostrowite *)	87	100	116	107	110	112	wysoki	-2	-2	-2	12,4	15,5	19,7	5,8	5,8	7,2
6	Morzycko	178	200	225	208	210	212	wysoki	0	1	1	12,3	15,7	20,1	6,0	6,5	8,0
7	Rajgrodzkie	139	206	265	204	207	209	wysoki	-1	-2	-2	9,0	13,9	18,4	3,1	6,5	9,1
8	Dejguny	161	182	213	199	204	206	wysoki	-7	-6	-8	7,0	11,5	14,3	0,8	4,7	7,1
9	Bachotek	190	268	301	276	279	281	wysoki	-5	-5	-5	10,2	14,4	17,5	5,0	6,8	8,3
10	Jasień	128	138	148	129	130	130	niski	-1	-2	-4	9,8	13,9	17,0	5,4	6,5	7,2
11	Raduńskie G.	484	497	511	486	488	490	niski	0	2	3	6,6	12,0	16,5	3,2	7,0	9,4
12	Dadaj	114	149	220	155	162	168	wysoki	-14	-14	-18	8,5	12,7	16,8	3,5	5,9	8,0

\*) Ostrowite – wielolecie 2005 – 2020

gdzie:

$\bar{H}_m$  - stany charakterystyczne wody w danym miesiącu w wieloleciu 1981-2020

$H_m$  - stany charakterystyczne wody w danym miesiącu

$\Delta H$  - zmiany stanów charakterystycznych wody w stosunku do poprzedniego miesiąca

$T_m$  - temperatury charakterystyczne wody w danym miesiącu

$\Delta T$  - zmiany temperatur charakterystycznych wody w stosunku do poprzedniego miesiąca

NNW- najniższy stan w danym miesiącu w wieloleciu 1981-2020

SSW- średni stan w danym miesiącu w wieloleciu 1981-2020

WWW- najwyższy stan w danym miesiącu w wieloleciu 1981-2020

NW- najniższy stan w danym miesiącu

SW- średni stan w danym miesiącu

WW- najwyższy stan w danym miesiącu

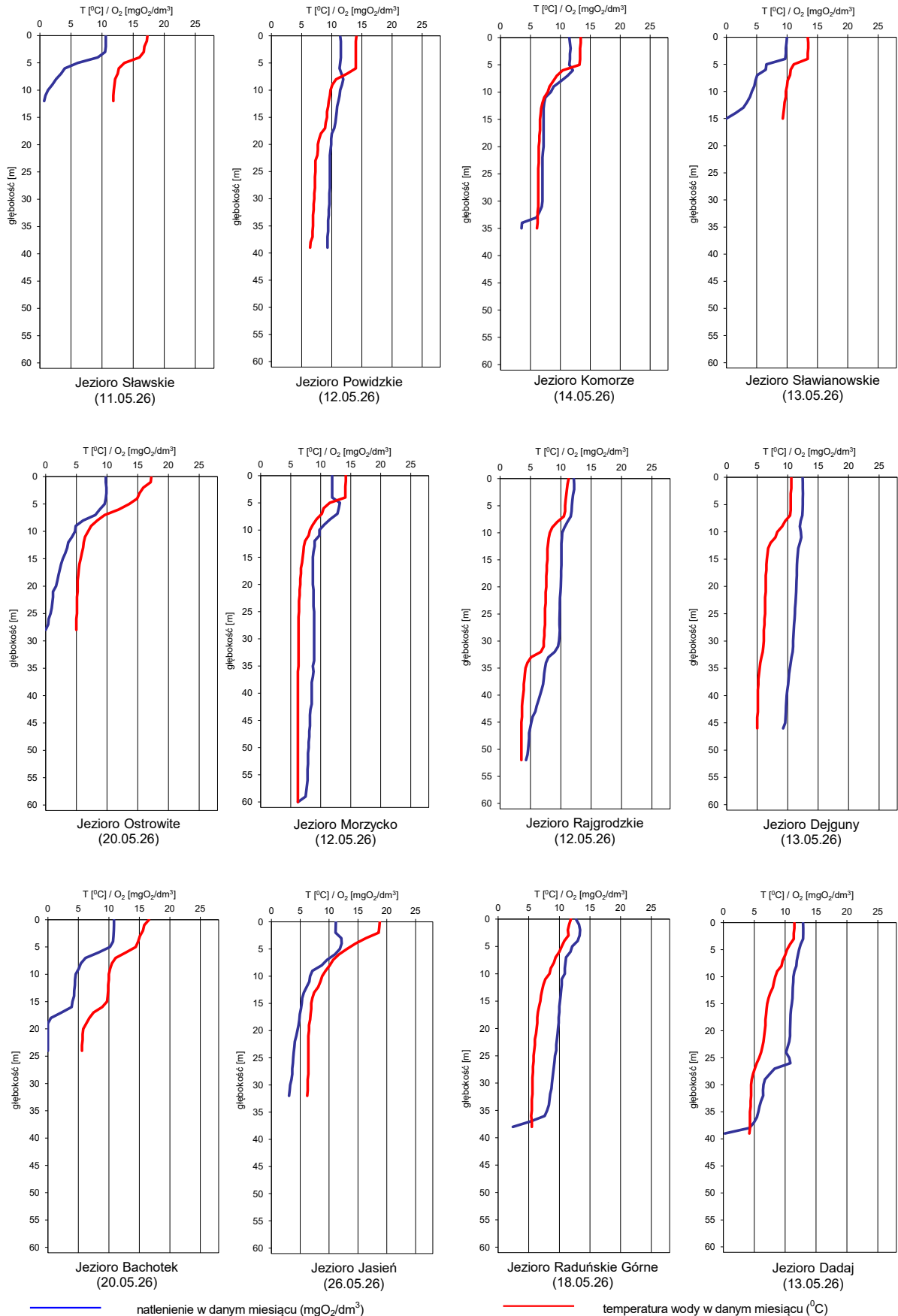
NT - najniższa temperatura wody w danym miesiącu

ST - średnia temperatura wody w danym miesiącu

WT- najwyższa temperatura wody w danym miesiącu

Tab. 5.3. Przezroczystość wody [m]

Lp.	Jezioro	Maj 2026
1	Sławskie	2,1
2	Powidzkie	4,0
3	Komorze	2,8
4	Sławianowskie	2,8
5	Ostrowite	6,0
6	Morzycko	3,0
7	Rajgrodzkie	2,1
8	Dejguny	2,7
9	Bachotek	3,2
10	Jasień	2,6
11	Raduńskie Górne	2,5
12	Dadaj	1,7



Rys. 5.2. Natlenienie i temperatura wody jezior bilansowych

## 6. Parowanie z powierzchni wody



Rys. 6.1. Lokalizacja stacji ewaporometrycznych

### 6.1. Parowanie z powierzchni zbiorników ewaporometrycznych zlokalizowanych na lądzie

W maju sumy miesięczne parowania z basenów 20 m<sup>2</sup> na większości stacjach ewaporometrycznych były powyżej średniej z wielolecia. Jedynie na stacji w Pile suma miesięczna była poniżej średniej. Sumy miesięczne wynosiły od 70 mm w Borucinie do 105 mm we Włodawie. Najwyższe odchylenie od średniej z wielolecia zanotowano w Kłodzku (+34%), Włodawie (+27%), Sulejowie (+17%).

Tab. 6.1. Sumy dekadowe i miesięczne parowania z powierzchni wody - basen 20 m<sup>2</sup> maj 2026

Stacja	1981 – 2025			maj 2026				Odchylenie od śr. wieloletniej	
	Max.	Min.	Śr.	I dek.	II dek.	III dek.	Suma	mm	%
	mm			mm					
BORUCINO	93	42	66	19	18	33	70	4	6
KŁODZKO <sup>a) *)</sup>	99	38	67	30	21	39	90	23	34
PIŁA	116	50	81	22	19	35	76	-5	-6
RADZYŃ	111	48	82	27	23	42	92	10	12
SULEJÓW <sup>*)</sup>	105	48	70	21	17	44	82	12	17
WŁODAWA <sup>*)</sup>	124	57	83	34	25	46	105	22	27

<sup>a)</sup> Wartości max., min. i średnie obliczono dla okresu 1993-2025

<sup>\*)</sup> Stacje włączone do sieci synoptycznej WMO

W tabeli 6.1. podano sumy miesięczne parowania z ewaporometru 20 m<sup>2</sup>. Zgodnie z zaleceniami WMO parowanie zmierzone tym ewaporometrem charakteryzuje średnie wieloletnie, sezonowe, straty wody na parowanie z jezior i zbiorników wodnych, średniej wielkości o głębokości średniej w granicach 1,5-5 m i powierzchni zwierciadła wody do 1 km<sup>2</sup> o naturalnym reżimie termicznym. W celu uzyskania zbliżonych do rzeczywistych miesięcznych wartości parowania z jezior położonych w podobnych warunkach klimatycznych, jak przedstawione w tabeli [6.1.] stacje ewaporometryczne, zmierzone wartości parowania w poszczególnych miesiącach wymagają skorygowania współczynnikami przeliczeniowymi [R], których wielkość zależy od parametrów morfometrycznych badanego jeziora lub zbiornika wodnego.

Tab. 6.2. Przybliżone wartości współczynnika [R] dla zbiorników o różnej głębokości i powierzchni do 5 km<sup>2</sup>

Obiekt wodny	Głębokość [m]	Wartości współczynnika R						
		V	VI	VII	VIII	IX	X	V-X
Głęboki	$h_{\text{sr}} \geq 15$ m	0,61	0,89	0,97	1,05	1,25	1,47	0,96
Płytki	$h_{\text{sr}} \leq 5$ m	1,01	1,12	1,14	1,17	1,31	1,41	1,15
Stawy rybne	$h_{\text{sr}} \geq 1,5-3,0$ m	1,21	1,29	1,24	1,20	1,13	1,00	1,20

W tabeli 6.3 prezentujemy sumy dekadowe i miesięczne parowania z powierzchni wody w ewaporometrach GGI-3000 (12 stacji). Regułą jest, iż tego typu ewaporometry notują wyższe parowanie w stosunku do basenu 20 m<sup>2</sup>. W maju na większości stacjach wartości parowania w basenach GGI 3000 przekroczyły wartości średnie z wielolecia i wyniosły od 81 mm w Zakopanem do 179 mm we Włodawie. Największe odchylenie od średniej z wielolecia zanotowano na stacjach w Jarczewie (+61%), Włodawie (+43%), Zakopanem (+31%), Pile (+26%) i Kłodzku (+15%). Jedynie na stacji w Mławie suma zmierzonego parowania była poniżej średniej z wielolecia i wyniosła -5%.

Tab. 6.3. Sumy dekadowe i miesięczne parowania z powierzchni wody-ewaporometr GGI-3000 - maj 2026

Stacja	2010-2025			maj 2026				Odchylenie od śr. wieloletniej	
	Max.	Min.	Śr.	I dek.	II dek.	III dek.	Suma		
	mm			mm				mm	%
BORUCINO	109	55	83	23	21	40	84	1	1
JARCZEW	172	74	103	63	38	65	166	63	61
KŁODZKO	112	44	85	38	21	47	106	21	25
PIŁA	162	49	100	41	29	56	126	26	26
RADZYŃ	158	59	114	36	27	60	123	9	8
SANDOMIERZ	144	67	101	33	20	48	101	0	0
SULEJÓW	148	54	92	33	23	51	107	15	16
WŁODAWA	188	82	125	65	40	74	179	54	43
ZAKOPANE	107	28	62	36	17	28	81	19	31
ŁEBA <sup>a)</sup>	115	77	94	30	28	49	107	13	14
SUWAŁKI <sup>b)</sup>	105	89	97	24	21	52	97	0	0
MŁAWA <sup>c)</sup>	157	83	110	31	23	50	104	-6	-5

<sup>a)</sup> Wartości max., min. i średnie obliczono dla okresu 2011-2025

<sup>b)</sup> Stacja ewaporometryczna od 2024 roku

<sup>c)</sup> Stacja ewaporometryczna od 2016 roku

## 6.2. Parowanie z powierzchni jezior

W tabeli 6.4 przedstawione zostały wyniki zmierzonego parowania w ewaporometrze GGI-3000 na czterech posterunkach pływających (tratwach) i zredukowane wzorem. Na wszystkich stacjach pływających (tratwach ewaporometrycznych) sumy miesięczne parowania były zbliżone do wartości średnich z wielolecia. Sumy wyniosły od 65 mm na stacji w Borucinie do 100 mm w Radzynie.

Tab. 6.4. Sumy dekadowe i miesięczne parowania (rzeczywistego) z powierzchni jezior - maj 2026

Jezioro	Posterunek	2019-2025			maj 2026					
		Max.	Min.	Śr.	I dek.	II dek.	III dek.	Suma	Odchylenie od śr. wieloletniej	
		mm			mm				mm	%
Sławskie	Radzyń	112	65	96	27	23	50	100	4	4
Sławianowskie	Buntowo	120	64	79	21	20	31	72	-7	-9
Rajgrodzkie	Rajgród	106	57	81	22	20	48	90	9	11
Raduńskie Górne	Borucino	81	53	68	15	16	34	65	-3	-4

***Rozpowszechnianie powyższych danych  
wyłącznie  
z podaniem IMGW-PIB jako źródła informacji***



**INSTYTUT METEOROLOGII I GOSPODARKI WODNEJ  
PAŃSTWOWY INSTYTUT BADAWCZY**

01-673 Warszawa, ul. Podleśna 61

Internet: <http://www.imgw.pl>

e-mail: [biuletyn@imgw.pl](mailto:biuletyn@imgw.pl)